

運輸省港湾技術研究所

# 港湾技術研究所 報告

---

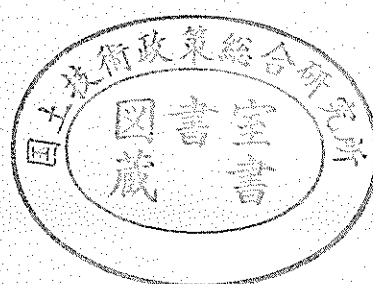
---

REPORT OF  
THE PORT AND HARBOUR RESEARCH  
INSTITUTE  
MINISTRY OF TRANSPORT

---

VOL. 8      NO. 2      JUNE 1969

NAGASE, YOKOSUKA, JAPAN



港湾技術研究所報告は第7巻第1号より年4回定期的に刊行する。ただし第1巻から第6巻および欧文編第1号から第15号までは下記のとおり不定期に刊行された。  
報告の入手を希望する方は論文番号を明記して港湾技術研究所長に申し込んで下さい。

和文篇 (Japanese Edition)

- Vol. 1. No. 1 (1963)
- Vol. 2. Nos. 1~3 (1963~1964)
- Vol. 3. Nos. 1~7 (1964)
- Vol. 4. Nos. 1~11 (1965)
- Vol. 5. Nos. 1~15 (1966)
- Vol. 6. Nos. 1~8 (1967)

欧文篇 (English Edition)

- Report Nos. 1~15 (1963~1967)

The Report of the Port and Harbour Research Institute is published quarterly, either in Japanese or in occidental languages. The title and synopsis are given both in Japanese and in occidental languages.

The report prior to the seventh volume were published in two series in Japanese and English as listed above.

The copies of the Report are distributed to the agencies interested on the basis of mutual exchange of technical publication.

Inquiries relating to the Report should be addressed to the director of the Institute specifying the numbers of papers in concern.

# 港湾技術研究所報告 (REPORT OF P.H.R.I.)

第8卷 第2号 (Vol. 8, No. 2), 1969年6月 (June 1969)

## 目 次 (CONTENTS)

1. 沖積粘土のボーリングおよびサンプリングに関する研究 (第4報)  
..... 松本一明・堀江宏保・奥村樹郎 ..... 3  
(Studies on Boring and Sampling of Saturated Alluvial Clays (4th Report)  
..... Kazuaki MATSUMOTO, Hiroyasu HORIE and Tatsuro OKUMURA)
2. 載荷時間の圧密諸係数におよぼす影響について ..... 小川富美子 ..... 21  
(Effect of Loading Duration on the Consolidation Indices ..... Fumiko OGAWA)
3. スパッドを有する作業船の船体に作用する波力について (第1報)  
..... 小岩苔生・大平 勝・平山 勇・白鳥保夫 ..... 51  
(Wave Force on a Hull of a Working Craft with Spuds (1st Report)  
..... Taisei KOIWA, Katsu OHIRA, Isamu HIRAYAMA and Yasuo SHIRATORI)
4. 水噴流による水中の岩盤の理論的破碎過程について  
..... 藤井喜一郎・守口 照明 ..... 71  
(On the Theoretical Analysis of the Destruction of Rocks in Water by Water Jet  
..... Kijichiro FUJII and Teruaki MORIGUCHI)

## 4. 水噴流による水中の岩盤の理論的破碎過程について —モルタル試料による実験結果—

藤井喜一郎\*・守口照明\*

### 要　　旨

近年港湾工事において硬土盤、あるいは岩盤浚渫作業の能率向上は、一つの重要な課題となっている。現在、種々の作業方法が考えられ、開発されているが、本報告ではその一つとして、水力により岩盤を破碎する方法について研究し、実験室内で行なってきた実験結果を理論的に考察したものである。水噴流により水中の岩盤を破碎する過程はかなり複雑で、水噴流と岩盤の両面にわたりすべてを理論的に解析することは、ほとんど不可能である。ここでは単に噴流の圧力とそれに対応して破碎される岩盤強度との関係について考察を試みただけである。岩盤の破碎を理論的に解析するには、次のような仮定をたてた。

すなわち、噴流はすでに確立されている Tollmien の理論による構造をなしていること、破碎する際、岩盤に作用する荷重は、噴流が岩盤に衝突して生ずる打撃力として作用すること、岩盤内部に発生する応力は Boussinesq の定理が適用されること、また岩盤内部に発生する応力により Mohr の破碎説に従って破碎が生ずること、などの理論が適応されるものとして考察を行なった。以上の解析方法により、噴流の圧力と破碎される岩盤の圧縮強度との関係を明らかにし、模型岩盤として実験室内で製作したモルタルを使用して行った破碎実験結果により両者の関係を確認した。

噴流によるモルタル試料破碎実験の結果、ノズル中心軸上の噴流の圧力を  $P$ 、破碎されるモルタルの圧縮強度を  $\sigma_0$  とするとき、ノズルとモルタルの面までの距離がノズル径の 4 倍以上の領域では、

$$\sigma_0 \approx 2P \quad (\text{但し、モルタルのポアソン比が } 0.15 \sim 0.30 \text{ のとき})$$

の関係があることがわかり、これは理論的に求めた計算値とほぼ一致した。

\* 機材部 作業船研究室

#### 4. On the Theoretical Analysis of the Destruction of Rocks in Water by Water Jets.

—Results of the Experiments on the Destruction of Mortar Test Pieces—

Kiichiro FUJII\*  
Teruaki MORIGUCHI\*

#### Synopsis

Recently the improvement of efficiency for the dredging at hard strata or hard rocks are becoming one of the main problems in the construction of ports and harbours.

Various methods were invented and developed today for the destruction of rocks or hard strata at the bottom of the sea.

In this report the authors presented the research on the water-jet excavation and made theoretical analysis on the destruction of rocks in water by submerged water jets (The pressure of water jet is  $40 \text{ kg/cm}^2$  ~  $50 \text{ kg/cm}^2$ ).

But the process of destructions of rocks in water by water jet is quite complicated and it was impossible for us to make theoretical analysis on all process of them.

So we just tried to analyze on the relation between the pressure of the water jets and the compressive strength of rocks which are to be destructed by water jets. For the theoretical analysis, we made following assumptions.

1. Water jets have structure based upon the theory of Tollmien. And the loads which act on the rocks can be determined by the shock produced by the impacts of water jet with the rocks.
2. The stress produced in the inner part of the rocks can be determined by the Boussinesq's theory.
3. Rocks are to be destructed by stress in the inner part of them according to Morhr's theory.

By the theoretical analysis through above assumptions, we found following relation for the rocks with the poisson's ratio  $0.15 \sim 0.30$ , and when their distance from the tip of nozzle is about quadruple of the nozzle diameter,

$$\sigma_c = 2p$$

where  $\sigma_c$  : Compressive strength of rocks which are destructed by water-jets.

$p$  : Pressure of water jets on the axis of round jets.

And this relation was also confirmed by destruction experiments on the mortar-test pieces.

\* Research Staff of Dredger and Construction Equipment Laboratory.

## 目 次

要 旨 .....	71
まえがき .....	75
1. 噴流が岩盤に作用した場合、その内部に生ずる応力についての考察 .....	75
1-1 噴流の B, C, D 領域に岩盤を設置した場合 .....	75
1-2 噴流の A 領域に岩盤を設置した場合 .....	81
2. 岩石破碎に関する理論およびその応用について .....	82
2-1 Mohr の破碎理論及びその応用について .....	82
2-2 噴流の岩盤内部に作用する応力と破碎される岩盤の圧縮強度 $\sigma_c$ との関係について .....	86
3. 実 験 .....	88
3-1 実験方法および実験 .....	88
3-2 実験結果および考察 .....	90
4. あとがき .....	91
参考文献 .....	91
記 号 表 .....	91
附 表-1 .....	93
附 表-2 .....	105

## まえがき

噴流による岩盤の破碎は、破碎する手段が連続水流であり、破碎される物体が固体であるため噴流そのものと岩盤自体の構造を両面にわたり考察しなければならない。

水中における噴流の構造及びモルタルの破碎結果についてはすでに文献-7)に、その実験結果等を報告したが噴流が水中の岩盤を破碎する過程については若干の理論的考察を試みるにとどまった。

噴流による岩盤の破碎理論に関しては、空気中における現象については若干海外の文献などに見られるが、水中での現象を取り扱ったものはほとんどない。両者における掘削現象は、多少異っていると考えられるが、それは水エネルギーの構造自体および破碎対象である岩盤への噴流の作用現象が異ってくることに基因するのであろう。そして岩盤の破碎現象を破碎手段である噴流と岩盤との両者のエネルギー的な面、衝突現象、及び岩盤に生ずる応力から、完全な理論的考察を行なうことは破碎現象が非常に複雑なために、ほとんど不可能で、それらの現象の初期状態、及び概略を示すことにとどめた。

筆者らの試みた考察は次のようなものである。

- (1) 噴流が岩盤に作用した場合に、岩盤内部の各点に発生する各応力どのようなものであるか？
  - (2) (1)によって発生した応力に対応していかなる応力の条件により岩盤が破碎するものであるか？
  - (3) ノズルに供給する水圧に対して、どの程度の圧縮強度をもつ岩石の破碎が可能であるか？
- しかしこの考察自体も理論を簡略化するために次のような仮定を設けなければならなかった。
- (1) 破碎岩石は、等質等方性の完全弾性体であること。
  - (2) ノズルの中心軸は岩盤表面に垂直で円形のノズルを使用した場合、力の作用面はノズルからの各距離に対応した径を持つ円であること。そして力の作用する作用面に配分される荷重は、特別な領域を除いて、Tollmien の噴流の理論に基づく速度分布に対応した噴流が岩石に衝突した際に生ずる打撃力として求められること。
  - (3) (2)によって生ずる打撃力が岩盤内部に生じさせる応力は Boussinesq の定理を応用することにより求まること。
  - (4) (3)によって生じた応力が岩盤内部に作用することによりモールの材料破碎説に従って破碎現象が起る

こと。

以上の仮定に基いて、次に述べるような考え方で理論を進めた。

## 1. 噴流が岩盤に作用した場合、その内部に生ずる応力についての考察

### 1-1 噴流の B, C, D 領域に岩盤を設置した場合

水中での噴流による岩盤破碎を考察するたために、まず噴流の構造を知らねばならぬが、これについては既に文献-7)で、その構造を調査した結果を発表した。そこでここではその概略のみを示し、噴流の理論的岩盤破碎への適用について考えてみる。

図-1 に示すように、ノズルから噴出した噴流はその中心軸上の速度が徐々に減少する割合に応じてノズル口より噴出方向に A, B, C, D の4つの区域に分離される。殊に図 B, C, D の領域については、ノズル中心軸上の流速を  $u_m$  と中心軸より  $y$  だけ垂直に離れた位置における  $x$  軸方向の速度と  $u$  の間には、次のような相似法則がある。すなわち

$$\frac{u}{u_m} = f(\varphi) \quad \dots \dots \dots \quad (1-1)$$

$$\text{ここに } \begin{cases} f(\varphi) : \text{Tollmien の函数} \\ \varphi = y/cx \left( \begin{array}{l} y : \text{ノズルの中心軸から半径方向} \\ x : \text{ノズルからの距離} \end{array} \right) \\ c = \text{実験常数} \end{cases}$$

の関係があることを Tollmien らによって明らかにされた。従って、ノズルからある距離でのノズル中心軸の流速が定まれば、その位置での任意の  $y$  の位置における噴出方向(図-1 の  $x$  軸方向)の速度が式 (1-1) より求まる。なお筆者らの実験によれば、B, C, D の領域においては、Tollmien の理論に従う流速分布の考え方は、十分正しいことが確認された。

次に噴流が岩盤表面に作用する面は円形であり、また流速の分布は、上記のように Tollmien の流速分布とする。そして岩盤に衝突した後の噴流は、放射状に向きを変え岩盤表面に沿って流れるものと仮定しよう。

いま、ノズル口より噴出方向に距離  $x_0$  だけ離れた位置で噴流の中心軸より  $y$  だけ離れた点を含む微小面積  $A_0$  において速度  $u$  で衝突している噴流(図-1 参照)は、岩盤表面にはその力を考えるなら、

$$F = A_0 \frac{\gamma u^2}{g} \quad \dots \dots \dots \quad (1-2)$$

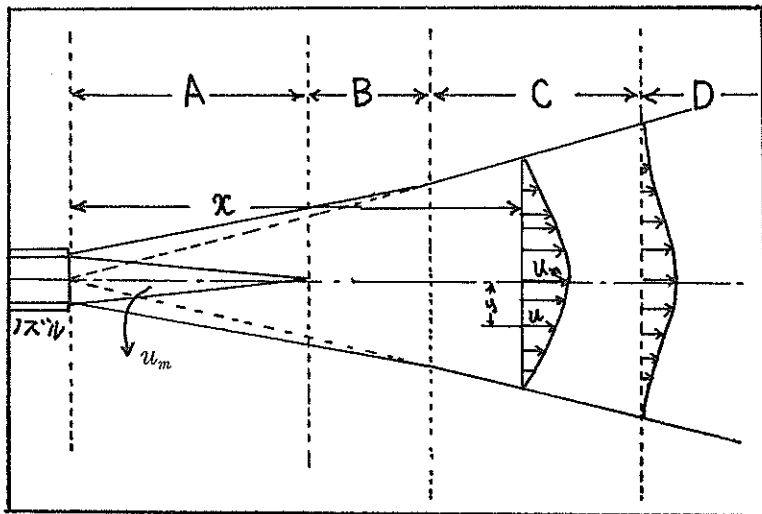


図-1 噴流の基本構造図

$$\begin{aligned} \text{ここに } & \left\{ \begin{array}{l} \gamma : \text{水の比重} \\ g : \text{重力の加速度} \end{array} \right. \quad F = \text{微小面積が受ける荷重} \\ & A_0 = \text{微小面積} \\ & u = \text{衝突前の流速} \end{aligned}$$

なる力をその面に与えられていると考えられる。(実際の噴流の衝突による荷重は、微小面積およびその周囲のすべての点における荷重を加えて求めなければならないが、噴流による重荷の最も強く作用する部分が微小面積の附近にあると近似的に見なすなら上記の式が考えられる。) いまこの作用円の中心に衝突する噴流の速度  $u_m$  (中心軸上の速度) と、 $u$  とには、式 (1-1) から

$$u = u_m f(\varphi)$$

の関係があり、従ってこの面に作用する力は (1-2) より

$$F = \frac{A_0 \gamma \cdot u_m^2 \cdot f(\varphi)^2}{g} \quad \dots \dots \dots (1-3)$$

と表わされる。

すなわち噴流の中心軸上の速度を知れば、ノズル口よりある距離の位置にある岩盤の表面に作用する(微小面積)の荷重の大きさを上記の式により近似的に導くことが可能である。

次にこれらの作用円上の微小面積における各荷重は、作用円下の岩盤内部にどのような応力を生じさせるのか検討してみよう。

いま、図-2において、噴流の作用する円の半径を  $a$  とし、直径  $I_1, I_2$  上の中心  $O$  より  $R$  だけ離れた点  $G$  を通る直線を  $MG$  と、これに限りなく近いもう一つの直線  $M'G$  をひき、点  $Q$  を含む図の陰影を施した面素  $ds$  上に加わる荷重が点  $G$  の下の岩盤に作用する応力を考慮

しょう。

いま面素の面積  $dA$  は  $dA = s d\theta ds$  とあらわされるから面素に衝突する水流の速度を  $u$  として、この面素に作用する荷重  $dF$  は式 (1-3) より

$$dF = \frac{\gamma u_m^2 f(\varphi)^2}{g} s d\theta ds \quad \dots \dots \dots (1-4)$$

と表わされる。

さて、この荷重が作用される岩盤の内部における応力を図-2 の半径  $OI_2$  に沿って考察してみよう。そのため筆者等は次のような Boussinesq 定理を応用してみた。Boussinesq によれば、弾性半無限体の表面に、すなわち図-3において、平面  $z=0$  の  $z$  軸上に集中力  $P$  が働いているとしたとき、集中荷重により岩盤内部の各距離における各応力は次のように表わされる。

すなわち、図-3 の点  $N$  に生ずる応力は、圧縮応力を正とすると沿直方向の垂直応力は

$$\sigma_{rz} = \frac{3P}{2\pi} \cdot \frac{z^3}{(\sqrt{s^2+z^2})^5} \quad \dots \dots \dots (1-5)$$

半径方向の垂直応力は ( $\mu$ : ポアソン比)

$$\sigma_r = \frac{P}{2\pi} \left\{ \frac{(1-2\mu)}{\sqrt{s^2+z^2} (\sqrt{s^2+z^2}+z)} - \frac{3zs^2}{(\sqrt{s^2+z^2})^5} \right\} \quad \dots \dots \dots (1-6)$$

接線方向の垂直応力は

$$\begin{aligned} \sigma_\theta = & -\frac{P}{2\pi} (1-2\mu) \left[ \frac{z}{(\sqrt{s^2+z^2})^3} \right. \\ & \left. - \frac{1}{\sqrt{s^2+z^2} (\sqrt{s^2+z^2}+z)} \right] \quad \dots \dots \dots (1-7) \end{aligned}$$

水噴流による水中の岩盤の理論的破碎過程について

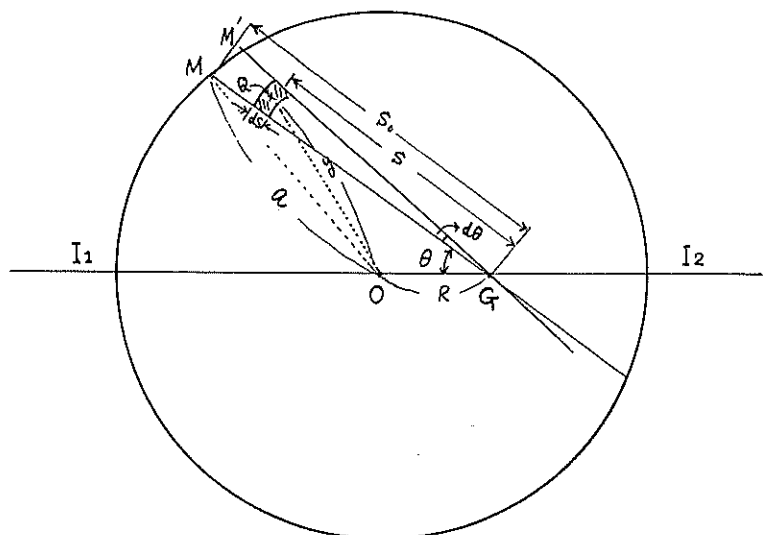


図-2 作用円上の微小面積  $ds$  にかかる荷重が G 点に作用する力についての関係図

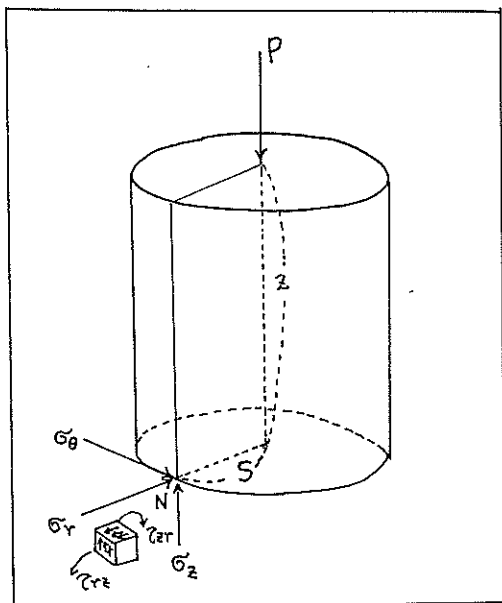


図-3 集中力  $P$  が作用した時、点Nに生ずる各応力

せん断応力は

$$\tau_{xz} = \frac{3P}{2\pi} \cdot \frac{z^2 s}{(\sqrt{s^2 + z^2})^5} \quad (1-8)$$

で表わされる。

次に作用円上の各点に衝突する直前の噴流の速度は図-4 に示すように中心部が高く、中心から離れていくに従い低くなるが、中心点に関し対称な点における速度は同一である。このようなことを考慮しつつ、図-2 におい

て作用円上の任意の面素  $dA$  上の荷重が点 G に作用する応用について考えてみる。

いま図-2 の G 点下に作用する応力を考えるために、図-5 に示すように点 G を通り、互いに直交する CA, CB 面及び  $x$  軸に垂直な平面 AB (紙面に垂直な高さはそれぞれ  $dz$  とする) を考える。すなわち微小なる角柱 CBA を考える。

いま微小面 AB に作用する垂直応力  $\sigma_x$ 、すなわち C

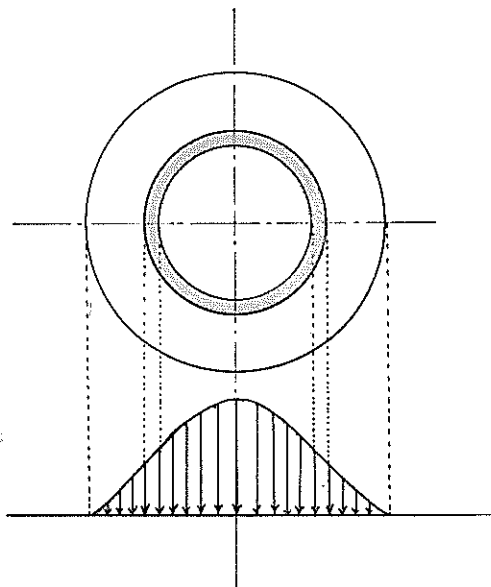


図-4 作用円に衝突する直前の噴流の速度分布

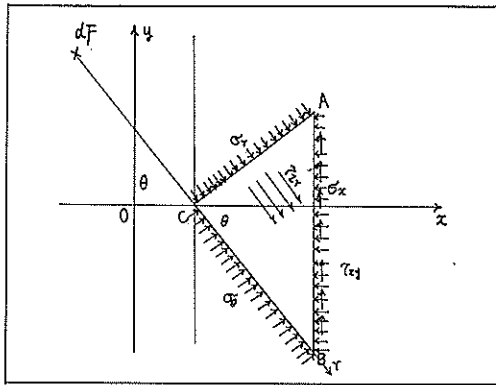


図-5 G点における微小な三角柱に作用する応力  
点における半径方向を求めてみよう。

面積  $dA$  に加わる荷重  $dF$  により三角柱の  $AC$  平面,  $BC$  平面に作用する応力は先に示したように  $\sigma_r$ ,  $\sigma_\theta$  の応力が作用する。(面  $AC$  には、その他紙面に垂直に  $\tau_{rz}$  が働くが、面  $BC$  にはせん断応力は働くかない。) そして面  $AB$  上に紙面に平行に  $\tau_{xy}$  なるせん断応力が働くいたとしよう。

これらの応力の  $x$  軸方向,  $y$  軸方向における平衡条件を考えると

$$\left\{ \begin{array}{l} \sigma_r \times \overline{AC} \times dz \times \cos \theta + \sigma_\theta \times \overline{BC} \times \sin \theta \times dz \\ - \sigma_r \times \overline{AB} \times dz = 0 \\ \tau_{xy} \times \overline{AB} \times dz + \sigma_\theta \times \overline{BC} \times dz \times \cos \theta \\ - \sigma_r \times \overline{AC} \times dz \times \sin \theta = 0 \end{array} \right.$$

上式より

$$\left\{ \begin{array}{l} \sigma_x = \sigma_r \cos^2 \theta + \sigma_\theta \sin^2 \theta \\ \tau_{xy} = (\sigma_\theta - \sigma_r) \cdot \sin \theta \cdot \cos \theta \end{array} \right. \quad \dots \dots \dots (1-9)$$

として求められ  $\sigma_x$  が  $\sigma_r$ ,  $\sigma_\theta$  の関数で表わされる。同様な考え方で従い、点Gにおける  $y$  軸方向垂直応力も

$$\sigma_y = -\sigma_r \sin^2 \theta + \sigma_\theta \cos^2 \theta \quad \dots \dots \dots (1-10)$$

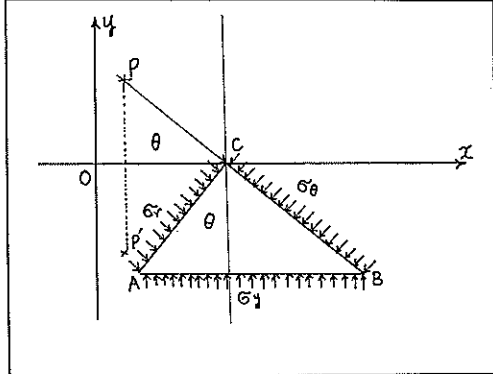


図-6 G点における微小な三角柱に作用する応力

として求まる。(図-6 参照)

ところが図-6において、いま  $x$  軸に関して点Pと対象で同荷重の点P'を考えるなら、(いま考えている作用円の面上には対象点は必ず存在する)、全く同じ大きさで方向が反対の応力  $\sigma_{y'} = -\sigma_y$  が作用すると考えられるから、G点における  $y$  軸方向の応力  $\sigma_y$  は零となる。全く同様な考えに従い先に求めた  $\tau_{xy}$  も零となる。

次に図-5において  $\tau_{yz}$ ,  $\tau_{zy}$ ,  $\tau_{zx}$ ,  $\tau_{xz}$  等のせん断応力について考えてみる。

同図に示す面ABCにおいて、この面に沿って  $r$  軸方向にせん断応力  $\tau_{rz}$  が作用しており、面ABCの面積を  $A_0$  とすると全体で  $A_0 \tau_{rz}$  の力が  $r$  軸方向に作用している。従ってこの力の  $x$  軸方向の力は  $A_0 \tau_{rz} \cos \theta$  である。よって面ABCの  $x$  軸方向のせん断応力  $\tau_{zx}$  は  $A_0 \tau_{rz} \cos \theta / A_0$  の応力が作用することになる。このせん断応力  $\tau_{zx}$  は面ABの  $z$  軸方向(紙面に垂直な方向)に作用するせん断応力に等しくならねばならない。すなわち

$$\tau_{zx} = \tau_{xz} = \tau_{rz} \cos \theta \quad \dots \dots \dots (1-11)$$

となる。また図-6で、面ABCにおいて  $y$  軸方向に作用するせん断応力  $\tau_{zy}$  については、先の  $\sigma_x$ ,  $\tau_{xy}$  のときと同様に、 $x$  軸と対象な点における同荷重を考えてみれば零となることがわかる。

$$\text{したがって}, \tau_{xy} = \tau_{yx} = 0, \tau_{yz} = \tau_{zy} = 0 \text{ となる。}$$

次に面ABCについて  $z$  軸方向の応力を考えてみるとそれは Boussinesq の定理で求められたように、

$$\sigma_z = \sigma_{rz} \quad \dots \dots \dots (1-12)$$

として求めてよい。

以上のことから、図-2の半径  $OI_2$  上の点Gの下の、作用円内に任意の点における荷重によって生ずると考えられる応力は、 $\sigma_x$ ,  $\sigma_z$ ,  $\tau_{zx}$  だけとなる。先にも述べたように、面素  $dA$  に加わる荷重は式(1-4)のように表わされるから、G点に作用する応力は、この荷重により(1-5)～(1-8)において  $P=dF$  とおき、また(1-9)～(1-12)式を利用することにより

$$\begin{aligned} \sigma_x &= \sigma_r \cos^2 \theta + \sigma_\theta \sin^2 \theta \\ &= -\frac{dF}{2\pi} \left[ \frac{(1-2\mu)}{\sqrt{s^2+z^2}(\sqrt{s^2+z^2}+z)} \right. \\ &\quad \left. - \frac{3zs^2}{(\sqrt{s^2+z^2})^5} \right] \cos^2 \theta \\ &\quad - \frac{dF(1-2\mu)}{2\pi} \left[ \frac{z}{(\sqrt{s^2+z^2})^3} \right. \\ &\quad \left. - \frac{1}{(\sqrt{s^2+z^2})(\sqrt{s^2+z^2}+z)} \right] \sin^2 \theta \\ &= -\frac{dF}{4\pi} \left[ \frac{z(1-2\mu)}{(\sqrt{s^2+z^2})^3} - \frac{3zs^2}{(\sqrt{s^2+z^2})^5} \right] \end{aligned}$$

## 水噴流による水中の岩盤の理論的破碎過程について

$$\begin{aligned}
 & + \cos 2\theta \left( \frac{2(1-2\mu)}{\sqrt{s^2+z^2}(\sqrt{s^2+z^2}+z)} \right. \\
 & - \left. \frac{3zs^2}{(\sqrt{s^2+z^2})^5} - \frac{(1-2\mu)z}{(\sqrt{s^2+z^2})^3} \right) \dots \dots \dots (1-13)
 \end{aligned}$$

全く同様にして

$$\sigma_z = \frac{3dF}{2\pi} \times \frac{z^3}{(\sqrt{s^2+z^2})^5} \dots \dots \dots (1-14)$$

$$\tau_{xz} = \frac{3dF}{2\pi} \times \frac{z^2s}{(\sqrt{s^2+z^2})^5} \cos \theta \dots \dots \dots (1-15)$$

いま面積  $ds$  上に加わる荷重  $dF$  により、このような応力がG点に生じたのであるから、作用円全体の荷重によつては次のような応力が生じるであろう。すなわち図-2において  $\theta$  を 0 から  $2\pi$  まで、  $s$  を 0 から  $s_0$  まで変化させることによりそれぞれのG点下における応力が求まる。 $x$  軸方向の垂直方向の応力  $\sigma_z$  は

$$\begin{aligned}
 \sigma_z = & -2 \int_0^\pi \int_{s=0}^{s=s_0} \left( \frac{\gamma u_m^2 / g}{4\pi} \right) \left[ \frac{z(1-2\mu)}{(\sqrt{s^2+z^2})^3} \right. \\
 & - \left. \frac{3zs^2}{(\sqrt{s^2+z^2})^5} + \cos 2\theta \left( \frac{2(1-2\mu)}{\sqrt{s^2+z^2}(\sqrt{s^2+z^2}+z)} \right. \right. \\
 & \left. \left. - \frac{3zs^4}{(\sqrt{s^2+z^2})^5} - \frac{(1-2\mu)z}{(\sqrt{s^2+z^2})^3} \right) \right] f(\varphi)^2 s ds d\theta \dots \dots \dots (1-16)
 \end{aligned}$$

$$\sigma_z = 2 \int_0^\pi \int_{s=0}^{s=s_0} 3 \left( \frac{\gamma u_m^2 / g}{2\pi} \right) \cdot \frac{z^3 s}{(\sqrt{s^2+z^2})^5} f(\varphi)^2 s ds d\theta \dots \dots \dots (1-17)$$

$$\tau_{xz} = 2 \int_0^\pi \int_{s=0}^{s=s_0} 3 \left( \frac{\gamma u_m^2 / g}{2\pi} \right) \cdot \frac{z^2 s}{(\sqrt{s^2+z^2})^5} f(\varphi)^2 s ds d\theta \dots \dots \dots (1-18)$$

として表わされる。

ここに  $s_0$  および Tollmien の函数  $f(\varphi)$  は

$$s_0 = R \cos \theta + \sqrt{a^2 - R^2 \sin^2 \theta} \dots \dots \dots (1-19)$$

$$\begin{aligned}
 f(\varphi) = & \left( \frac{2}{\varphi} - 0.4\varphi^{0.5} - 0.04\varphi^2 + 0.00082\varphi^{3.5} \right. \\
 & + 0.00015\varphi^5 + \dots \dots \left. \right) \exp \left( \ln \frac{\varphi^2}{2} - 0.27\varphi^{1.5} \right. \\
 & - 0.013\varphi^3 + 0.00018\varphi^{4.5} + 0.000025\varphi^6 \\
 & + \dots \dots \left. \right) \times \frac{1}{\varphi}
 \end{aligned}$$

と表わされ、変数  $\varphi$  は

$$\varphi = \frac{y}{cx} \quad \left( \begin{array}{l} y : \text{作用円の中心からの距離} \\ x : \text{ノズルから作用面までの距離} \end{array} \right)$$

であるから、いまこの分母、分子を  $a$  (作用円半径) で除すと

$$\varphi = \frac{y/a}{cx/a} = \frac{y/a}{1/(a/cx)}$$

となる。一方、Tollmien の理論によれば  $a/cx$  の値は 3.4 となるから、

$$\varphi = 3.4 \frac{y}{a}$$

と表わされ、また図-2より、作用円の中心といま考えている荷重点までの距離は

$$y = \sqrt{R^2 + s^2 - 2Rs \cos \theta}$$

であるから

$$\varphi = 3.4 \sqrt{\left( \frac{R}{a} \right)^2 + \left( \frac{s}{a} \right)^2 - 2 \left( \frac{R}{a} \right) \left( \frac{s}{a} \right) \cos \theta} \dots \dots \dots (1-20)$$

よって  $s_0$  および  $\varphi$  は、  $R$ ,  $s$ ,  $\theta$  の関数として表わされる。次に、いま考えている応力は先にも述べたように半径  $OI_2$  に沿った各点下のものであるから、  $R$  (中心から応力を求める点までの距離),  $z$  (応力を求める点の岩盤下の表面からの深さ) は作用円半径  $a$  の倍数として定めまた  $s$  も  $a$  の倍数として変化させてゆくなら、(1-16), (1-17), (1-18) の積分値は  $a$ ,  $\gamma u_m^2/g$  の値がわかれば、数値計算により求めることが可能である。なお作用円半径  $a$  については、まえがきにも述べたように、岩盤の表面に衝突する直前まで噴流が Tollmien の速度分布に従っているものとすれば ( $B, C, D$  の領域については)  $a = 0.22x$  ( $x$  : ノズルと岩盤面までの距離) と表わされるし、また  $u_m$  (ノズル中心軸上の流速) は各ノズルからの各距離における中心軸上の速度を実験により求めることができます。

次に実際の数値積分の方法を示す。

図-7 のように半径  $a$  の作用円を想定し、中心Oより距離  $R$  にある点G下における岩盤の応力を求めることにする。点Gを中心半径  $(a+R)$  の半円を描き、それを扇形に  $m$  等分する。次にそれを更に半径方向に  $n$  等分すると、半円は  $m \times n$  個の微小部分に分割される。その微小部分の中心点の位置が半径  $a$  の作用円内にある微小部分だけに注目し、その中心点を含む微小面積  $A_{mm}$  に作用する荷重は、作用円に衝突する時の噴流の速度を  $u$  とすると  $\frac{A_{mm}\gamma u^2}{g}$  とあらわされる。いま  $\Delta\theta_a = \pi/m$ ,  $\Delta s_a = (a+R)/n$  とおくと、微小面の中心点から G までの距離を  $s'$  とし、その中心点がC点に関して  $x$  軸とのなす角  $\theta'$  とすれば

$$\begin{aligned}
 s' &= \Delta s_a/2 + (K-1)\Delta s_a \quad (K=1 \sim n) \\
 \theta' &= \Delta\theta_a/2 + (L-1)\Delta\theta_a \quad (L=1 \sim m)
 \end{aligned} \quad \left. \right\} \dots \dots \dots (1-21)$$

で表わされる。従つて任意の微小部分の面積は、  $A_{mm} = \Delta s_a \Delta\theta'$  であらわされるから  $\Delta s_a s' \cdot \frac{\gamma u^2}{g}$  の微小の荷重が作用する。この荷重によって点Gに生ずる応力を求めてみよう。式 (1-13) において、

$$\theta \rightarrow \theta', s \rightarrow s',$$

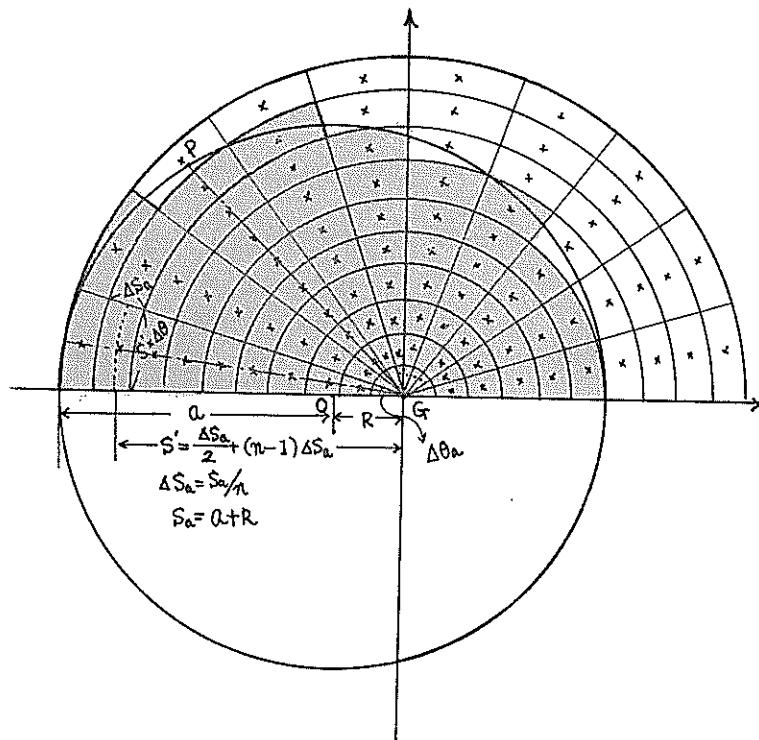


図-7 各微小部分の荷重がG点に作用する図

$$\varphi \rightarrow \varphi' = 3.4 \sqrt{\left(\frac{R}{a}\right)^2 + \left(\frac{s'}{a}\right)^2} - 2\left(\frac{R}{a}\right)\left(\frac{s'}{a}\right) \cos \theta'$$

と変換し、また  $dF$  についても

$$dF = \frac{\gamma u_m^2}{g} \Delta s_a \cdot d\theta \cdot s' = \frac{\gamma u_m^2 f(\varphi')^2}{g} \Delta s_a \cdot d\theta \cdot s'$$

とおくことにより、次のように  $\Delta \sigma_x$  が表わされる。

$$\begin{aligned} \Delta \sigma_x &= -\frac{\gamma u_m^2 / g}{4\pi} \left[ \frac{z(1-2\mu)}{(\sqrt{s'^2+z^2})^3} - \frac{3zs'^2}{(\sqrt{s'^2+z^2})^5} \right. \\ &\quad + \cos 2\theta \left( \frac{2(1-2\mu)}{\sqrt{s'^2+z^2}(\sqrt{s'^2+z^2}+z)} \right. \\ &\quad \left. \left. - \frac{3zs'^2}{(\sqrt{s'^2+z^2})^5} - \frac{(1-2\mu)z}{(\sqrt{s'^2+z^2})^3} \right) \right] \\ &\quad \times f(\varphi')^2 s' \Delta s_a \Delta \theta \quad \dots \dots \dots (1-22) \end{aligned}$$

従って、作用円内にその中心点をもつ微小部分の荷重をすべて加えることよりこの作用円全体にかかる荷重がもたらすG点下の応力を求めることが出来る。そのためには微小部の中心が作用円の内部にあるための条件は次のように求められる。微小部分の中心点とG点と結ぶ直線が作用円と交わる点Mとすると、GMの(ただし  $\overline{GM}=s_0$ 。  
図-2) 距離は、 $L$  を変化させることにより式(1-19)，及び図-2と、図-7を対応させ、式(1-21)において、

$$\theta' = \left(L - \frac{1}{2}\right) \Delta \theta_a = \left(L - \frac{1}{2}\right) \frac{\pi}{m}$$

$$\overline{GM} = R \cos \left(L - \frac{1}{2}\right) \frac{\pi}{m} + \sqrt{a^2 - R^2 \sin^2 \left(L - \frac{1}{2}\right) \left(\frac{\pi}{m}\right)} \quad (L=1 \sim m)$$

と表わされるから微小面の中心点が作用円内にあるためには

$$s' \leq \overline{GM}$$

でなくてはならず、これを満足する  $s'$  の式の中の最大の整数として  $K=n'$  を定めることができる。従って  $L=1 \sim m$ ,  $K=1 \sim n'$  のこの範囲の  $s'$  について、次の計算を行なうことにより、 $\sigma_x$  を概算することが出来る。作用円全体にかかる微小部分の荷重がG点下に作用するものとして(1-22)式の総和を求める

$$\begin{aligned} \sigma_x &= 2 \sum_{L=1}^m \sum_{K=1}^{n'} - \left( \frac{\gamma u_m^2 / g}{4\pi} \right) \left[ \frac{z(1-2\mu)}{(\sqrt{s'^2+z^2})^3} - \frac{3zs'^2}{(\sqrt{s'^2+z^2})^5} \right. \\ &\quad + \cos 2\theta \left( \frac{2(1-2\mu)}{\sqrt{s'^2+z^2}(\sqrt{s'^2+z^2}+z)} \right. \\ &\quad \left. \left. - \frac{3zs'^2}{(\sqrt{s'^2+z^2})^5} - \frac{(1-2\mu)z}{(\sqrt{s'^2+z^2})^3} \right) \right] \\ &\quad \times f(\varphi')^2 s' \Delta s_a \Delta \theta \quad \dots \dots \dots (1-23) \end{aligned}$$

同様にして

$$\sigma_x = 2 \sum_{L=1}^m \sum_{K=1}^{n'} 3 \left( \frac{\gamma u_m^2 / g}{2\pi} \right) \cdot \frac{z^3 s'}{(\sqrt{s'^2+z^2})^5} f(\varphi')^2 \cdot s' \Delta s_a \Delta \theta \quad \dots \dots \dots (1-24)$$

## 水噴流による水中の岩盤の理論的破碎過程について

$$\tau_{xz} = 2 \sum_{L=1}^m \sum_{K=1}^{n'} 3 \left( \frac{r u_m^3 / g}{2\pi} \right) \frac{z^k s}{(\sqrt{s^2 + z^2})^5} f(\varphi')^2 \cdot s' \Delta s \Delta \theta \quad \dots \dots \dots (1-25)$$

として数値積分の形で表わされて求まる。式(1-21)における  $m, n$  は上式の  $\sigma_x, \sigma_z, \tau_{xz}$  等の値が一定の値に近づいて行くようにして適当な値に定める。これらの計算、および計算における判断はすべて電子計算機を使用して行った。なお  $u_m$  の値については以上の考え方を次の第2章における破碎の理論ならびに実験結果とを比較する都合上、実験に使用した2種類のノズル（径11mm, 13mm）による測定値を用いた。なお各距離における中心流速は表-1のとおりである。

表-1 各ノズルのノズルからの各距離における中心流速

①	②	13 mmφ ノズル	11 mmφ ノズル
ノズルからの距離(cm)	ノズル種類		
5		92.7 m/sec	102.3 m/sec
10		73.0 "	90.6 "
15		55.7 "	70.9 "
20		47.2 "	53.4 "
25		37.8 "	40.9 "
30		32.1 "	31.7 "

① ノズルからの距離(cm) ② ノズル種類

このようにして求めた岩盤内部に作用する応力値を附表-1に示す。表ではノズルから岩盤まで距離が表-1に対応する  $x=5, 10, 20, 25, 30$  cm の各位置での岩盤の表面、ならびに内部に作用する各応力を作用円の中心から半径  $a$  の  $1/10$  ずつ離れた点下と、その点から半径  $a$  の  $1/10$  ずつ深くなった各点の各応力  $\sigma_x, \sigma_z, \tau_{xz}$  の値を求めて算出したものである。なおボアソン比としては 0.25 の値を用いた。

以上述べてきたことは、荷重を受ける岩盤の面が先に述べた噴流の  $B, C, D$  の領域にある時の、各応力の計算を考えた場合である。

### 1-2 噴流の A 領域に岩盤を設置した場合

次に岩盤にノズルが更に近づいた場合における領域、すなわち A 領域で噴流が岩盤の面に衝突した場合にどのような応力が岩盤内部に生ずるかについて、検討してみよう。この A 領域とは、噴流の中心の速度がノズルから出口速度を噴出方向に維持する区間をさすが、この区間ににおいては、他の領域と異なり、噴出後の噴流のコア部分は噴出前のノズル内部の高圧水と同様な状態を維持しており、岩盤の面に打撃的に作用するのではなく、むしろ静的な荷重として作用すると考えられる（図-8 参照）。

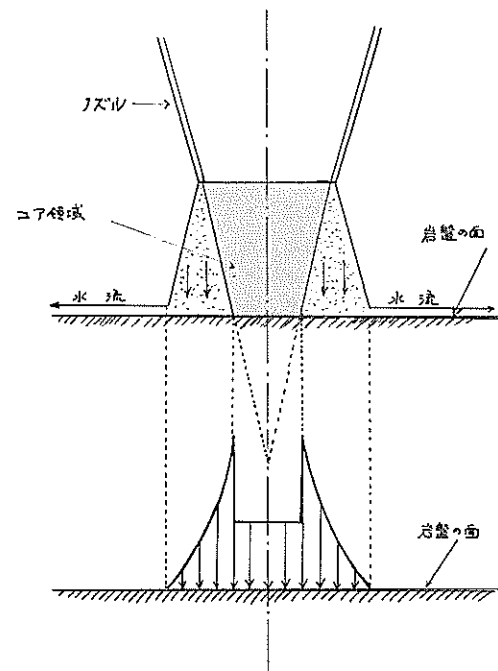


図-8 コア領域における噴流の衝突現象及び岩盤に作用する荷重分布

すなわち、他の領域ではノズルからは噴出した水と、周囲の水との混合水流による dynamic な作用をなすのに對し、この領域のコア部分の水噴流は単に定常的に岩盤に圧接しているような状態となっている。従って岩盤がコア部分と接触する面が受ける圧力は static で、その圧力はノズルに供給する水の圧力と同一である。一方共に流されるコア部分の周囲の水流は dynamic に作用し、岩盤破碎作用をより強く行うものと考えられる。従って、コア部分ではノズル出口速度水頭による荷重が、そしてまたその周囲では dynamic な作用としての荷重が加わるとして岩盤にかかる応力を先に  $B, C, D$  の各領域と同様な方法で計算することができる。

なお A 領域の例としてノズルと岩盤の作用面との距離  $x_0 = 1$  cm の場合の速度分布を表-2 に示す。なお表の中心軸速度と同一の流速をもつところがコア部分の領域と考えられる。この区域では、動圧  $7u_0^2/2g$  がそのまま荷重としてかかるとし、この値を先に求められた式(1-16), (1-17), (1-18) の  $\frac{u_m^2 f(\varphi)^2 / g}{\pi}$  の値の替りに代入して求めることができる。 $x_0 = 1$  cm の場合の応力分布の計算値は附表-1-1 に示す。

附表-1-1 は、図-9 の作用円内にコア領域が存在する

表-2 コア領域における各点での噴流の速度

①	②	13 mmφ ノズル	11 mmφ ノズル
0.0		92.7 m/sec	102.3 m/sec
1.0		92.7 "	102.3 "
2.0		92.7 "	102.3 "
3.0		92.7 "	102.3 "
4.0		88.3 "	99.0 "
5.0		41.8 "	83.9 "
6.0		12.6 "	15.8 "
7.0		5.0 "	8.0 "
8.0		0.0 "	0.0 "

(1) 中心軸からの距離 (2) ノズルの種類

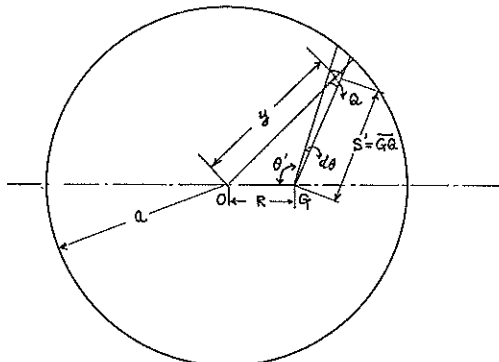


図-9 コア領域における作用円上の荷重が点Gに作用する関係図

ものとして次の計算法により求めた。図-9において長さ  $y$  (すなわち  $\overline{OQ}$ ) は

$$\overline{OQ} = \sqrt{\overline{OG}^2 + \overline{GQ}^2 - 2\overline{OG} \cdot \overline{GQ} \cos \theta'}$$

であり、また  $\overline{OG}$  は  $R$  であり、これは  $a$  (作用円半径) の倍数として求まる。そして  $\overline{GQ}$ ,  $\theta'$  は (1-21) 式と同様に

$$\theta' = \frac{4\theta_a}{2} + (L-1)4\theta_a \quad (L=1 \sim m)$$

$$(4\theta_a = \pi/m)$$

$$\overline{GQ} = s' = \frac{4s_a}{2} + (K-1)4s_a \quad (K=1 \sim u)$$

$$(4s_a = a + R/n)$$

としてやはり  $a$  と  $\theta$  の値で求まるから、 $\overline{OQ}$  の値も具体的に計算出来る。いま点Qを含む微小面積にかかる荷重  $F$  は作用円の中心点Oよりの距離  $\overline{OQ}$  によってその大きさが変化する。表-2 でわかるように  $\overline{GQ}$  が  $0 \sim 3$  mm で  $u$  の値が  $92.7$  m/sec であるから、この部分がコア

となる。そしてこの部分に属する微小面積  $ds' d\theta$  には単に動圧  $\frac{\gamma u^2}{2g}$  の圧力が静的に作用すると考える。次に (1-22) 式において  $\frac{\gamma u_m^2 f(\varphi')}{g}$  の値の代りに、この値をこの式に代入するなら点Gにおける垂直応力  $\Delta\sigma_z$  が求まる。また表-3において  $\overline{GQ}$  が  $4 \sim 8$  mm の範囲にあったなら、微小部分はコアの内部に含まれないから岩盤には打撃作用としての水流が作用すると考えると、(1-22) 式において  $\frac{\gamma u^2}{g}$  を  $\frac{\gamma u_m^2 f(\varphi')^2}{g}$  の代りに代入すると、この部分の微小部分がG点に与える  $\Delta\sigma_z$  の値を求めることが出来る。そしてこのA領域の計算においては作用円半径  $a$  は先の Tollmien の理論に従わず表-2 より  $a=8$  mm とする。このようによア部分における荷重、ならびにその周囲における荷重が各々求まつたら、これらの総和を (1-23), (1-24), (1-25) 式と同様な計算を行うことにより、A領域に設置された岩盤の面の一点Gに作用する各応力  $\sigma_x$ ,  $\sigma_z$ ,  $\tau_{xz}$  が求めることが出来る。

なお、ボアソン比が変化した場合における作用円の表面の各応力は、附表-2 にあげてある。ただしノズルからの距離が  $5$  cm 以下のものはコア領域での応力であるから、各応力値があまり大なる値をとらないので省略した。また、岩盤表面における  $\sigma_x$  の算出するため Boussinesq の式をそのまま使用すると、すべてその値が  $0$  となるため、噴流の実際の速度を測定して、その流速で岩盤に衝突した際の打撃力として求めた。さて、これらの各応力値を検討してみると、各ボアソン比によりかなり異なることがわかる。実際に考えられる岩盤のボアソン比としては、 $0.20 \sim 0.33$  附近であるから  $\mu=0.5$  とか  $\mu=0.1$  の値は実用的意味がない。また特に興味あることは、 $\sigma_z$  (半径方向垂直応力) については、表面の中心附近には、引張応力が働いていることである。

各応力値全体としては、やはり岩盤表面から、深度が深くなるにつれて次第にその値が低くなっていく傾向がみられる。

## 2. 岩石破碎に関する理論およびその応用について

### 2.1 Mohr の破碎理論およびその応用について

以上により岩盤内部に生ずる各応力の分布の傾向及びその概略の値がつかめたが、では岩石はこれらの応力との様な相関々係により、破壊が生ずるのであろうか。岩石の破碎に関する理論は、それを弾性破損の一形態と

## 水噴流による水中の岩盤の理論的破碎過程について

みなすなら一般に利用されている破壊強さが考えられるが、その破損限度を表わす条件については応力とか、ひすみにおける関係で理論的な立場から種々説明されている。それらの説の一つとして、Mohr の説を取り破碎のされ方を考察してみる。Mohr は材料破壊仮説を提唱し、この説はせい性材料に関しては、しばしばよく適合すると考えられてきた。

その考え方とは、材料の内部の平こう状態の超過（破壊）は、すべりによって生じ、破損面に働く垂直応力、およびせん断応力が材料によって定まるある極限値に達した時に生ずるものとした。いま、この説をモールの最大主応力円によって考えてみよう。

この円は、弾性体内の一点についてある方向の応力、特に、その主応力  $\sigma_1, \sigma_2, \sigma_3$  が分明すれば、その点におけるあらゆる方向の応力状態を完全に、かつ簡単に示すものである。一定の垂直応力に対するせん断応力は、図-10 に示す様に中間主応力  $\sigma_2$  を含まない半径  $(\sigma_1 - \sigma_3)/2$ 、中心  $(\sigma_1 + \sigma_3)/2$  の応力円によって定まる。

一方材料は、種々の異った応力状態の下で破損するのであるから各極限状態に対して応力円をそれぞれ画くことが出来る。それらの円の包絡線を図-11 のように描けばこの線が材料の破損状態を与えることになる。

すなわち、すべり面は包絡線との接点にあたる応力円上の点で定まる。

しかし、この様な極限曲線を個々の材料に対して求める事は困難であるため、簡単に単純引張り、及び単純圧縮の試験の結果から破損限度を示す応力円を描いてそれから求める方法がある。（図-12 参照）

求める包絡線が、これに接する直線  $AB, A'B'$  であったとすれば、破損限度を表わす線は、この二直線であらわされる。それらの式としていま

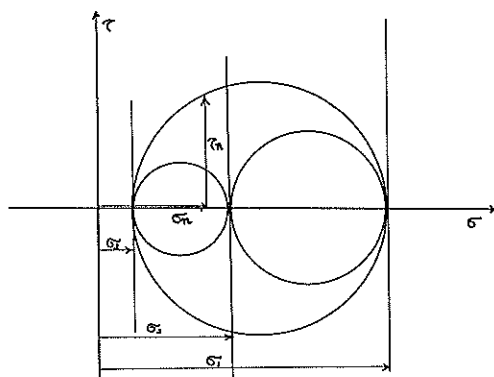


図-10 三軸応力系におけるモールの応力円

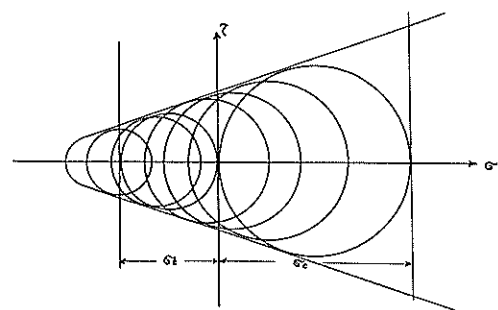


図-11 モールの応力円によって決定される包絡線

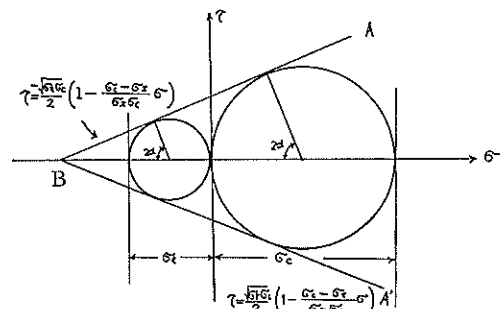


図-12 単純圧縮及び単純引張り試験により決定される破損限界線

$$\pm \tau_{\text{破壊}} = \frac{\sqrt{\sigma_c \sigma_o}}{2} \left( 1 - \frac{\sigma_o - \sigma_t}{\sigma_c + \sigma_o} \sigma_n \right) \dots \dots \dots (2-1)$$

（ここに  $\sigma_t, \sigma_c$  は、その絶対値をとる）

を採用しよう。

するとモールの考え方によれば、この様な種々の最大主応力円に対して、これら直線に接する点で破損を生ずるのであるから図-11 からわかるように、すべての円は中心と一定の角度をなす各点で接していると考える。

従ってすべり面は  $\sigma_1$  と  $\sigma_3$  がつくる応力面に直交し、かつ  $\sigma_1$  の作用面に（一定の角度を  $2\alpha$  とするなら）

$$\alpha = \frac{1}{2} \cos^{-1} \frac{\sigma_o - \sigma_t}{\sigma_c + \sigma_o} \dots \dots \dots (2-2)$$

だけ傾いている。すなわち図-13 に示す面である。（従って  $\sigma_c, \sigma_t$  の値が分れば、すべりを起す面の角度を知れる）図-14 から、この  $\alpha$  が求められたなら、もし  $\sigma_1, \sigma_3$  が求められていると、

$$\begin{cases} \sigma_n = \frac{1}{2} (\sigma_1 + \sigma_3) + \frac{1}{2} (\sigma_1 - \sigma_3) \cos 2\alpha \\ \tau_n = \frac{1}{2} |\sigma_1 - \sigma_3| \sin 2\alpha \end{cases} \dots \dots \dots (2-3)$$

となり、任意の点における  $\sigma_1, \sigma_3$  の各値に対して  $\sigma_n, \tau_n$  が求まる。（すなわち、すべりを起す面に働く、せん断応力  $\tau_n$ 、垂直応力  $\sigma_n$  を知ることができる）今、逆に

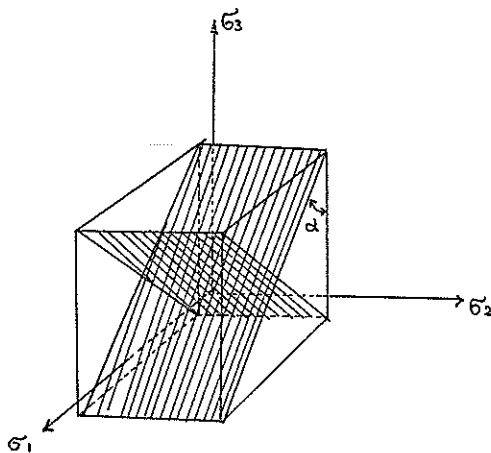


図-13 破損を起すと考えられる面

岩盤内部のある点での主応力  $\sigma_1, \sigma_3$  がわかった時に図-14 に示すような Mohr の円が出来て、その岩盤の  $\sigma_t/\sigma_c$  の値が既知ならば、 $\alpha$  が決定され中心より  $2\alpha$  の角度をなす半径に、円周上の点 P, P' で直交する直線を描けばこれが破碎限界線である。そしてこの限界線と  $\tau$  軸の両方に接する円を描けば、これがそれぞれ単純圧縮、及び単純引張に関するモールの応力円となり、岩盤のこの点において、これらの応力  $\sigma_1, \sigma_3$  で破碎すると考えられる岩盤の圧縮強度、引張強度である。

次にまた、図-15 に示すように、ある岩石の単純引張り強さ  $\sigma_t$ 、単純圧縮強さ  $\sigma_c$  の大きさが知れた時、それ

ぞれの Mohr の円を描き、この両円に接する破碎限界線を描く。いま、この岩石のある 1 点に主応力  $\sigma_1, \sigma_3$  が作用した場合に、これらの値の大小により、それぞれ図に示す径の異った Mohr の応力円、 $K_1, K_2, K_3$  等が描ける。図において円  $K_1$  は、破碎限界線と交わらない円、 $K_2$  は限界線に接する円、 $K_3$  は限界線と交わるものとすれば、円  $K_3$  を決定する主応力  $\sigma_1, \sigma_3$  で、この岩石は破碎を始め、更に  $K_1$  では、完全に破碎を生じさせることがわかる。

すなわち、いま円  $K_3$  が破碎限界線と接する点を P とするならば、この点でのせん断応力  $\tau_n$  は

$$\tau_n = \frac{1}{2} |\sigma_1 - \sigma_3| \sin 2\alpha \quad \dots \dots \dots (2-4)$$

であり、また円  $K_3$  において  $\sigma = \sigma_n$  の時のせん断応力は図より  $\tau_3$  である。そして円  $K_2$  と  $K_3$  では、 $\sigma = \sigma_n$  で (2-1) 式と比較して

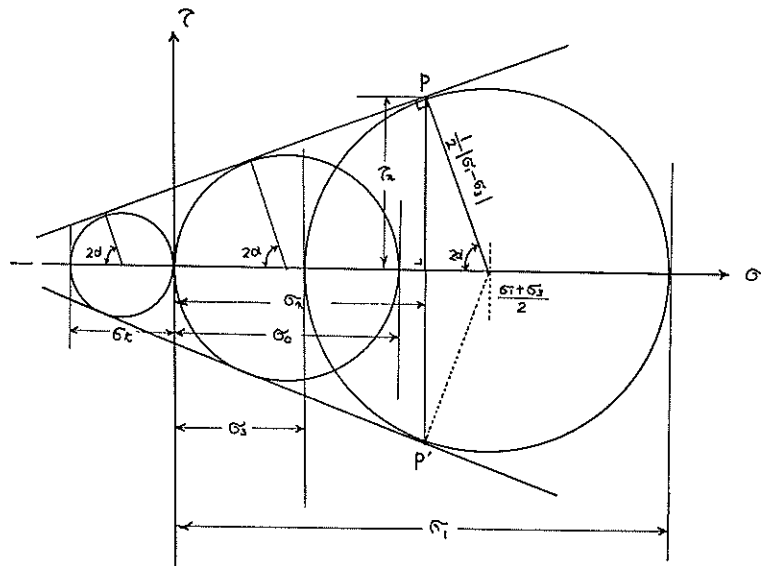
$$|\tau_3|, |\tau_n| \geq |\tau_{\text{破碎}}| \quad \dots \dots \dots (2-5)$$

破碎であるから破碎を生ずるのであろう。

すなわち図の斜線をほどこした領域に入る円  $K_3$  が決定するせん断応力の値をとるなら破碎するのである。ところが円  $K_1$  については、斜線の領域に入らないから破碎しない。

以上の事から、次のようなことも言える。

直線 CP が円  $K_1, K_3$  と交わるそれぞれの点を  $P_1, P_3$  とすれば、 $P_1, P_3$  において、円  $K_1, K_3$  で接し、かつ破碎限界線と平行な直線  $A_1, A_3$  をひけば、これらは

図-14  $\sigma_n, \tau_n$  を  $\sigma_1, \sigma_3$  より求める関係図

水噴流による水中の岩盤の理論的破碎過程について

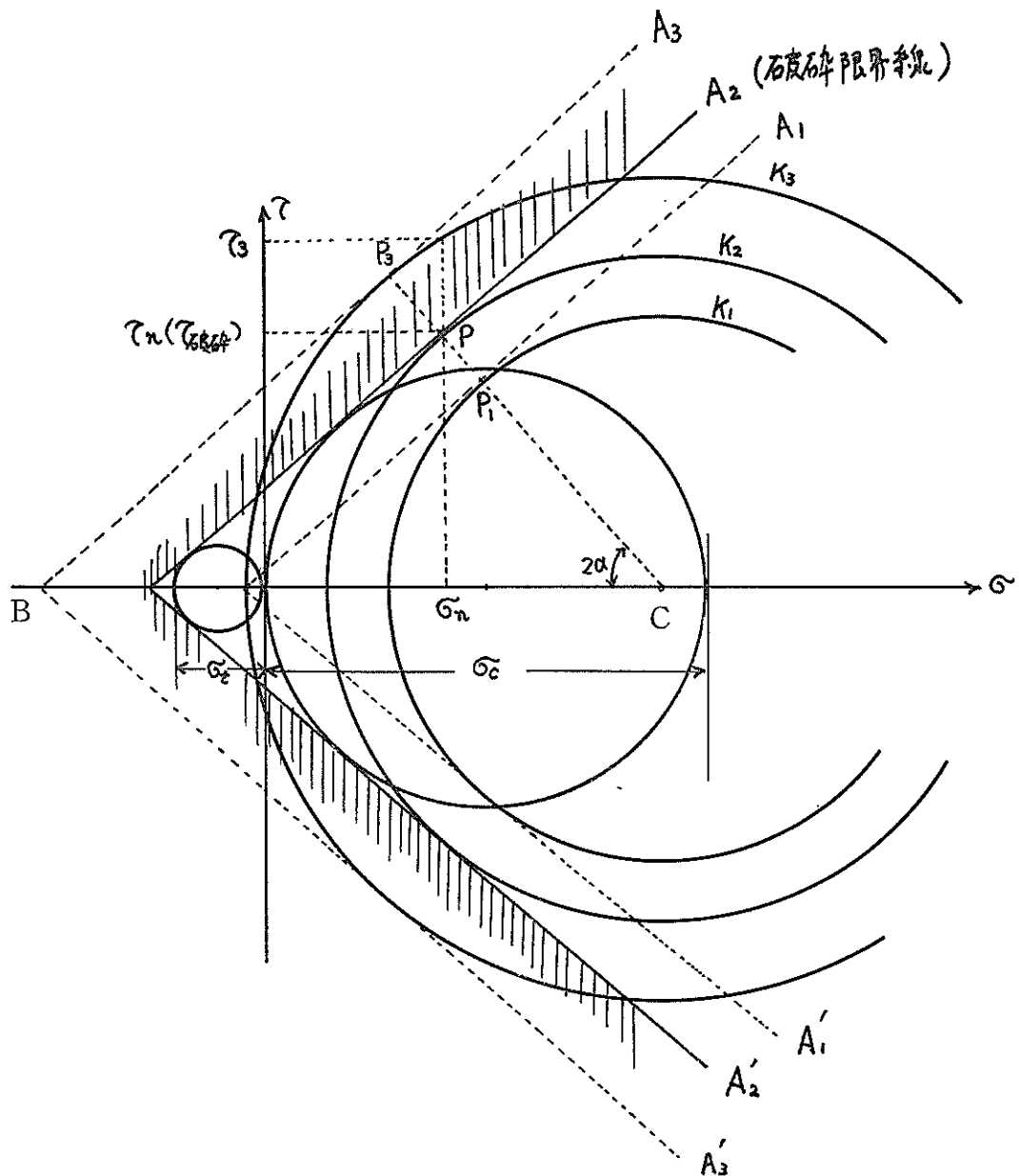


図-15 モールの応力円により決定される破碎限界線と圧縮強度  $\sigma_c$  の大きさとの関係

別の値の  $\sigma_c$ ,  $\sigma_t$  に対応する破碎限界線を意味する。

そしてある点で、円  $K_1$ ,  $K_2$  を決定する別の大きさの  $\sigma_1$ ,  $\sigma_3$  で破碎すると考えられる岩石があったなら、それに応ずる破碎限界線、例えば図-15 の  $A_3$ ,  $A_1$  が（もしその岩石の  $\sigma_c/\sigma_t$  の値が一定、すなわち  $2\alpha=$ 一定なら）求められ、それらの  $A_3$ ,  $A_1$  を決定する別の大きさ

の  $\sigma_c$ ,  $\sigma_t$  が求まることになる。（作図により  $\sigma_c$ ,  $\sigma_t$  の径の円が求まる）すなわち、岩盤破碎の際の破碎点での主応力と岩盤の単純圧縮強度  $\sigma_c$  との相対関係を求めることが可能である。

このようにして Mohr の岩盤破碎の条件は明らかになったが、破碎条件を単に主応力  $\sigma_1$ ,  $\sigma_3$  と圧縮強度  $\sigma_c$  と

の相対的な関係で表わすことが出来れば、非常に便利だし、実際に実験結果と比較するには便利である。(実際はせん断強度を求めるのが理想であるが、岩盤の理論せん断強度を求ることは困難である)

## 2.2 噴流の岩盤内部に作用する応力と破碎される岩盤の圧縮強度 $\sigma_c$ との関係について。

さて、このような考え方から、第1章に求めた岩盤の各点に働くと考えられる各応力  $\sigma_x, \sigma_z, \tau_{xz}$  より、その点における主応力  $\sigma_1, \sigma_2, \sigma_3$  を求め、 $\sigma_1 > \sigma_2 > \sigma_3$  として、 $\sigma_1$ (最大)、 $\sigma_3$ (最小)を定める。一方モルタルとか、コンクリートなどでは、一般に  $\sigma_t/\sigma_c = 0.1$  であるから、式(2-2)より、まず  $\alpha$  の角度が決定出来るし、ある点での  $\sigma_1, \sigma_3$  がわかれば、式(2-3)の  $\sigma_n, \tau_n$  を求め、(2-5)式を比較することにより、その点に対応する  $\sigma_c$  を求めることが可能である。

次に具体的に  $\sigma_1, \sigma_2, \sigma_3$  の値を求めてみよう。

一般に、任意の点における応力  $\sigma_x, \sigma_y, \sigma_z, \tau_{xy}, \tau_{xz}, \tau_{zy}$  が求められたなら、主応力は次の3次方程式の根であることが知られている。すなわち

$$\begin{aligned} \sigma^3 - (\sigma_x + \sigma_y + \sigma_z)\sigma^2 + (\sigma_x\sigma_y + \sigma_y\sigma_z + \sigma_z\sigma_x \\ - \tau_{xy}^2 - \tau_{yz}^2 - \tau_{zx}^2)\sigma - (\sigma_x\sigma_y\sigma_z + 2\tau_{xy}\tau_{yz}\tau_{zx} \\ - \sigma_x\tau_{yz}^2 - \sigma_y\tau_{zx}^2 - \sigma_z\tau_{xy}^2) = 0 \end{aligned}$$

ところが先に第1章で検討しているように

$$\sigma_y = 0 \quad \tau_{xy} = 0 \quad \tau_{yz} = 0$$

から上の方程式は

$$\begin{aligned} \sigma^3 - (\sigma_x + \sigma_z)\sigma^2 + (\sigma_z\sigma_x - \tau_{xz}^2)\sigma = 0 \\ \therefore \sigma = 0 \text{ また} \end{aligned}$$

$$\sigma = \frac{1}{2} \{(\sigma_x + \sigma_z) \pm \sqrt{(\sigma_x - \sigma_z)^2 + 4\tau_{xz}^2}\} \dots (2-6)$$

これらの根の中から、最大の根と最小の根をそれぞれ  $\sigma_1, \sigma_3$  として求め、これから(2-3)式により  $\sigma_n, \tau_n$  が求まる。従って、この主応力  $\sigma_1, \sigma_3$  が求まり、すべりを起すと考えられる面の垂直応力  $\sigma_n$ 、せん断応力  $\tau_n$  が求まったから、破碎を生ずる条件式、すなわち(2-1)式の  $|\tau_n| \geq |\tau_{\text{破碎}}|$  より、

$$\tau_n = \tau_{\text{破碎}} = \frac{\sqrt{\sigma_t\sigma_c}}{2} \left( 1 - \frac{\sigma_c - \sigma_t}{\sigma_t\sigma_c} \sigma_n \right)$$

とおき  $\sigma_t/\sigma_c = 0.1$  とすると、この式より

$$\sigma_c = 6.33\tau_n + 9\sigma_n \dots \dots \dots (2-7)$$

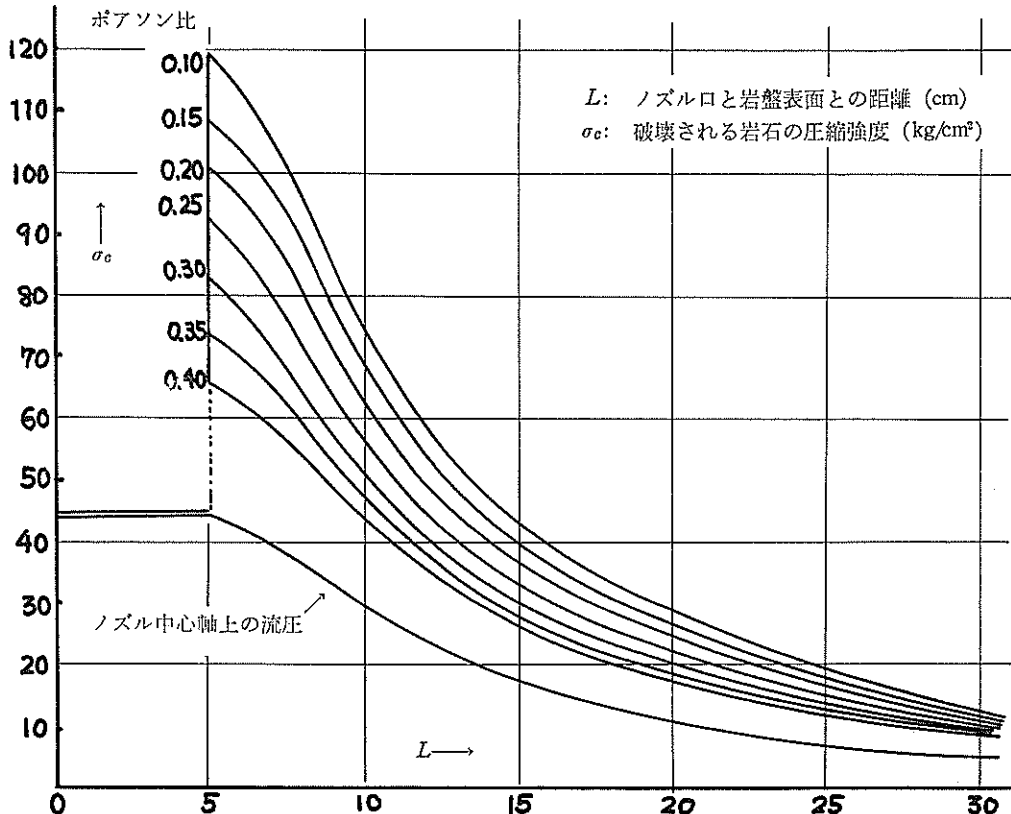


図-16 理論的に破壊される岩石の圧縮強度とノズルからの各距離との関係 (13 mmφ ノズル使用の場合)

水噴流による水中の岩盤の理論的破碎過程について

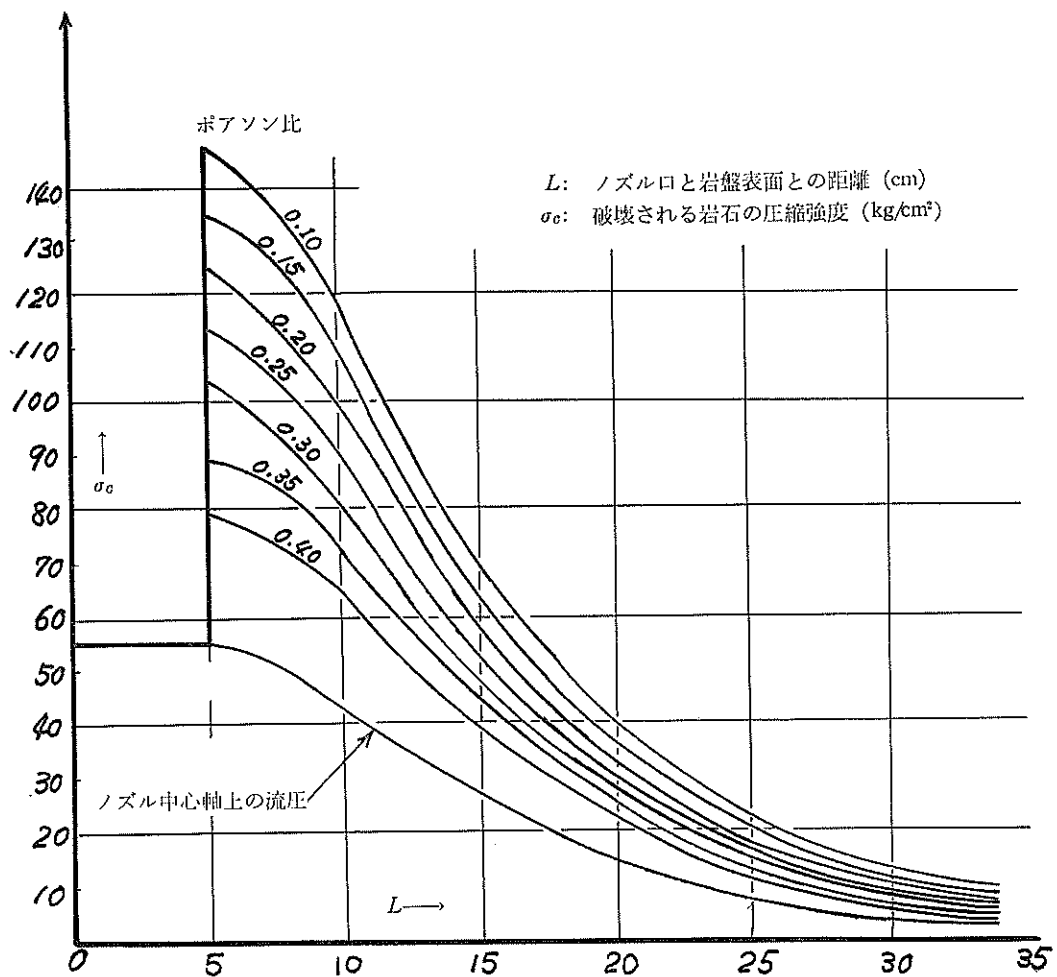


図-17 理論的に破壊される岩石の圧縮強度とノズルからの各距離との関係 (11 mm $\phi$  ノズル使用の場合)

が得られ、いま求めた  $\sigma_n$ ,  $\tau_n$  の値を代入すれば、この点における主応力  $\sigma_1$ ,  $\sigma_3$  でちょうど破壊される岩石の圧縮強度  $\sigma_c$  が求まる。これは(図-13)の場合の作図して求める過程と同じである。

この様にして  $\sigma_n$ ,  $\tau_n$  は主応力  $\sigma_1$ ,  $\sigma_3$  の値から得られ  $\sigma_1$ ,  $\sigma_3$  の値は、先に求めた  $\sigma_x$  (半径方向応力),  $\sigma_z$  (鉛直方向応力),  $\tau_{xz}$  (せん断応力) から求まるから、もし岩石の内部のある1点に  $\sigma_x$ ,  $\sigma_z$ ,  $\tau_{xz}$  の応力が働いた時、その点をそれらの応力でもって破碎されると考えられるその岩石の圧縮強度の最も大きな値  $\sigma_c$  を知ることが出来る。

従って第1章に述べたような岩石の内部の各点に作用する応力が決定された時、その点で破碎が生ずる最大の圧縮強度を各点について求まることになる。そしてボア

ソン比が、0.25,  $\sigma_i/\sigma_c=0.1$  と仮定した岩石について、(2-6), (2-7) 式に従って求めたものが附表-1 に示す  $\sigma_c$  の項のものである。

すなわち、11 mm $\phi$ , 13 mm $\phi$  の2つのノズルを使用して、高圧水を噴射させた場合に、岩石の内部の各点について、ノズルと試料との距離を変化させた場合について求めたものである。また岩石のボアソン比が変化した場合に、ノズルから各距離に岩石を設置した場合にその表面に各点に生ずる  $\sigma_c$  の値は附表-2 に載せてある。これら一連の表からもわかるように、ノズルから各距離だけ離れた岩石の内部で得られる最も大きな  $\sigma_c$  で破碎されると考えられる点は、やはり岩盤の表面の附近であり、作用円の中心に近いところに存在すると思われる。殊に表面附近では、半径方向の応力  $\sigma_x$  は引張応力として作

用し、これが破碎限界としての大きな圧縮強度  $\sigma_c$  の値を与えると考えられる。

また各ボアソン比が変ると各応力が異ってくるようにここで求めている  $\sigma_c$  がかなり異ってくる。

いま、各ボアソン比について、また、ノズルからの各距離について、岩盤の表面の点で最も大きな  $\sigma_c$  を得るところを、計算して横座標にノズルと岩盤との距離  $L$ 、縦座標に  $\sigma_c$  をとり図示すると図-16, 17 のようになった。すなわち、これらの図ではノズルの入口圧力が 44 kg/cm<sup>2</sup>, 54 kg/cm<sup>2</sup> のとき、ノズル口と破碎すべき岩盤の面の各距離において、どの程度の圧縮強度の岩盤の破碎が理論的に可能であるか図示したものである。これらの図によれば、ボアソン比が 0.25 のものについては、ノズル中心軸上の流圧の約 2 倍前後の値をもった圧縮強度の岩盤の破碎が可能ということになる。しかし、これはあくまで岩盤の表面附近の破碎について言えることで、この破碎し得える状態が岩盤内部まで深く浸透するとは言えない。ボアソン比として考えられる値は約 0.15~0.30 程までであろうが、 $\sigma_c$  はこれらの各値によりかなり変化すると考えられる。

次に岩盤内部の各点における  $\sigma_c$  の値については、表面より順次深くなるにつれ、また作用円中心軸から離れるにつれ徐々に少くなっていく。

いま  $\sigma_c$  の計算値よりも低い圧縮強度をもつ岩石であれば表面附近はもちろん、岩石の内部でも破碎が進行していることがこれらの附表-1 より推定される。従って各表に示す深さが零の場合の  $\sigma_c$  の値と同程度の圧縮強度をもつ岩石を噴流で破碎する場合は、表面から極くうすくはげるように掘削されるだろうが、それよりかなり低い強度をもつ岩石の場合は、瞬時に岩石内部まで掘削が進行すると考えられる。

次に A 領域での  $\sigma_c$  の値についての検討だが、これは先に示した応力計算に従って求めたものが、附表 1-1 のノズルからの距離  $x=1\text{ cm}$  の場合におけるものである。

この表からもわかるように、作用円中心附近の岩盤の表面及びその内部における、各々の応力  $\sigma_x$ ,  $\sigma_z$ ,  $\tau_{xz}$  はこのコア部分での噴流が静的に作用するものとすれば小さな値となり、その結果、それらの点における最大の圧縮強度  $\sigma_c$  も、 $x=5\text{ cm}$  の場合におけるよりもかなり低い値をとる。

そのため、もしこの表に示される表面附近の  $\sigma_c$  の値より、やや大きな圧縮強度をもつ岩石を破碎するとするなら作用円の中心附近は、ほとんど破碎されずに残り、むしろその周囲が破碎して行くのではないかと考えられ

る。しかし、表面附近の  $\sigma_c$  の値より、低い圧縮強度をもつ岩石なら、瞬時に作用円中心附近も破碎するであろう。以上の考察で、岩石破碎の傾向が、ほぼ推測出来たが、これらの妥当性を示すための実験を行ったので次章に示す。

### 3. 実験

以上理論的な考え方のみに従って考察してきたが、次にこれらの理論と比較するための実験について述べよう。しかし先に仮定した条件に適合すると考えられる現象を構成することは、ほとんど不可能であるから、出来るだけ近い状態にするため 2 章で求められた、図-16, 17 等の理論曲線との比較、及び A 領域での掘削実験について理論の確認を行った。

#### 3.1 実験方法、および実験

実験装置は文獻-7 に紹介した装置と全く同一のものを使用した。破碎するべき岩石模型試料としては、実験室内で製作したモルタルを使用した。これは先に示した理論を確めるのに最も都合のよい岩石のサンプルとして考えられたからである。なぜなら自由に圧縮強度の異った、しかも均一な強度をもつものが手軽に製作出来るし、強度測定も容易であり、他の岩石のようにその構造上の変化を出来るだけ少なくすることが可能であるからである。

そのため、破碎試料としてのモルタルは、なるべく粒子の直径の小さい（径 1 mm 以内）砂を使用し、セメントとの混合比を種々変化させ、安定した強度をもつものを製作するため、約 3 週間の養生期間をおいて製作した。なお、図-16, 17 等のように厳密にボアソン比との関連づけを行って調査するなら、ボアソン比が一定である試料を作製しなければならないが、実際はボアソン比均一の試料を作製することは、ほとんど不可能である。そして、圧縮強度の低いモルタルでは、その測定は不可能であった。なお製作した各々の試料のボアソン比は、あまり大きな変化をせず、ほぼ 0.15~0.25 の範囲にあった。

製作したモルタルの圧縮強度の測定結果を表-3 に示す。次に引張強度についてだが、先に求めた理論曲線では、ほぼ圧縮強度の 1/10 を仮定したが、実際には大部分が 0.089~0.11  $\sigma_c$  の値の範囲にあった。従って、ほぼ理論曲線との比較には適していると考えられる。

なお、使用したノズルは先にも示したように噴流の速度分布を測定した際に使用されたノズル、径 13~11 mm のもの 2 つを使用した。

### 水噴流による水中の岩盤の理論的破碎過程について

表-3 実験試料用モルタルの各強度表

A C B	圧縮強度 (kg/cm <sup>2</sup> )			平均 (kg/cm <sup>2</sup> )	引張強度 (kg/cm <sup>2</sup> )
	1	2	3		
1	8.0	7.9	8.2	8.0	1.2
2	13.7	13.6	13.8	13.7	1.8
3	21.5	20.3	19.5	20.5	2.8
4	23.6	24.2	22.4	23.5	2.6
5	23.8	25.0	23.3	24.1	2.6
6	30.8	29.4	28.0	29.4	2.8
7	33.8	33.8	34.5	34.1	3.9
8	48.6	47.5	40.3	45.5	4.3
9	49.0	48.6	42.2	46.6	4.3
10	52.0	53.8	51.2	52.3	5.5
11	66.3	67.2	65.3	66.6	6.0
12	68.7	67.7	69.2	68.5	6.2
13	75.8	76.2	74.7	75.5	6.8
14	74.8	75.0	75.3	75.0	7.0
15	88.5	92.0	88.7	89.7	8.1
16	90.0	93.3	89.2	90.8	8.5
17	108.3	107.5	109.6	108.6	10.3

A : 試料番号

B : 試験回数

C : 試験種類

次に破碎実験の方法であるが、今まで理論的に考察してきた方法は、ノズルから噴出した噴流が岩盤の表面に衝突した瞬間に、その作用円の岩盤内部の点に生ずる応力より破碎されるか否かを知る目的であるし、いったん破碎が開始された後の破碎状況を調査するのではないので、噴射時間を出来るだけ短くしなければならない。

本実験では噴射時間は2~3秒間として、破碎実験を行った。もちろん実験は十分広い水そう内(径5m・深さ4m)で行った。

理論を確める方法として、ノズル口から噴射方向に直角に十分離れた距離に破碎用のモルタル試料を設置し、噴射を開始する。

噴射した結果、破碎されていないようなら、試料を少しノズルの直角方向に近づけて同様な噴射実験を行う。この様にして順次同様な実験を行い、はっきりと掘削されたと認められるところで噴射をやめて、ノズルと試料との距離、試料の破碎状況を観察する。こうして先に求めた理論曲線との比較を行うために、横軸にノズルからの距離、縦軸にモルタルの圧縮強度 $\sigma_c$ をとったグラフ上に測定結果をプロットした。それらの結果が、図-18, 19に示すものである。なお帶状の曲線の範囲はポアソン比が、0.15~0.30の理論曲線の値である。

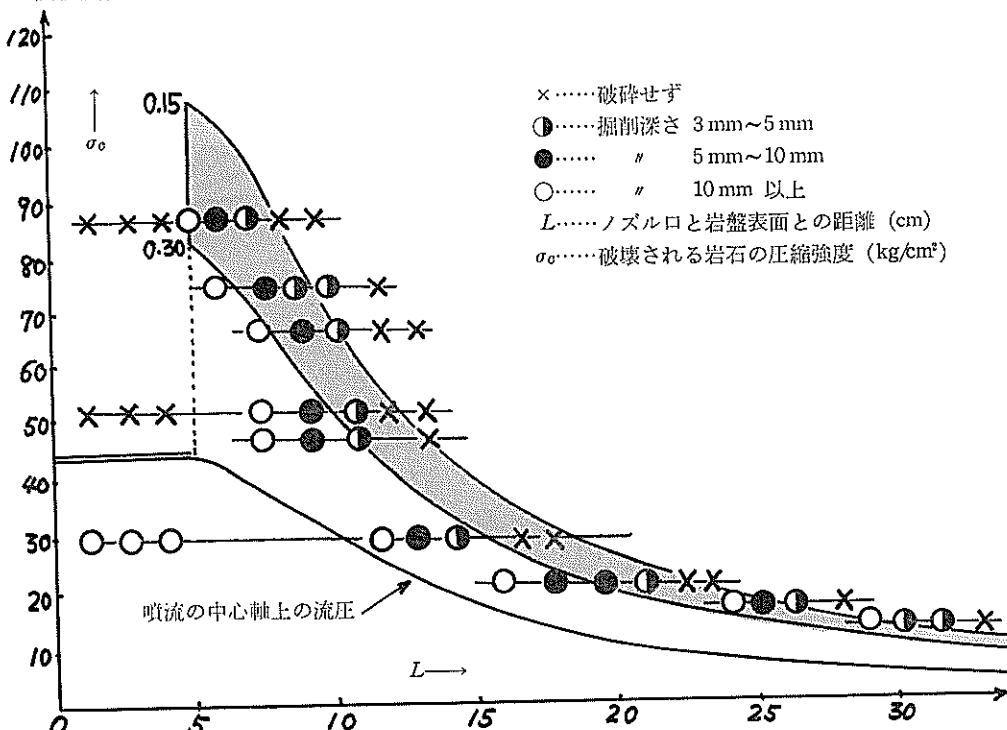
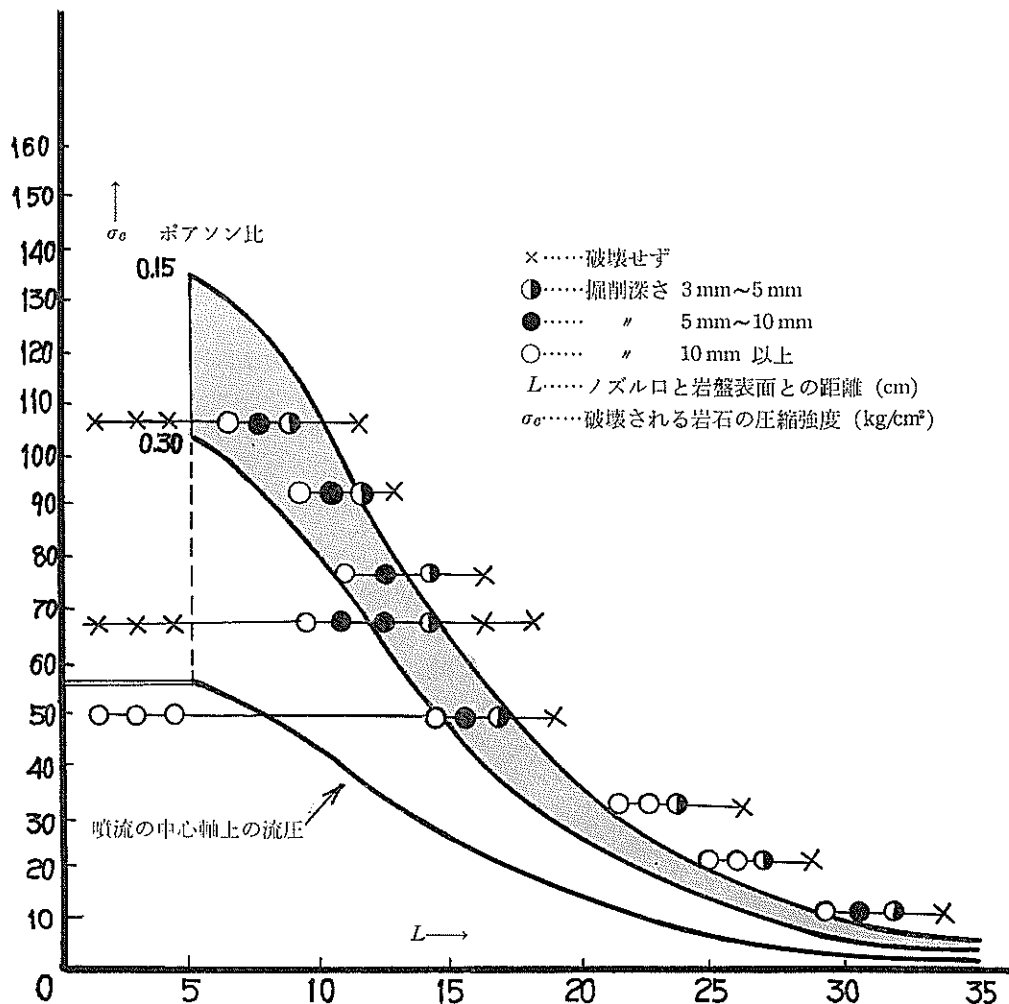


図-18 ポアソン比 0.15~0.30 の理論曲線と実験値との比較 (13 mm $\phi$  ノズル使用の場合)

図-19 ポアソン比 0.15~0.30 の理論曲線と実験値との比較 (11 mm $\phi$  ノズル使用の場合)

### 3.2 実験結果および考察

図-18, 19 に示すように、実験値は、ほぼ理論曲線に沿って分布しているものの、若干のバラッキがある。

その大きな理由は、どの段階で掘削が生じたかを判断するのが困難なためである。すなわち破碎の度合をどの程度をもって、破碎したと判断するかが問題となる。

本実験では破碎深さが 3 mm 以上のものについてプロットした。

全般として言えることは、文献-7) にも述べたようにノズルからの各距離で破碎される試料の圧縮強度は噴流の持つノズル中心軸上の圧力の少なくとも 2 倍近くの値をもつと考えられるものまで破碎されている。殊に、ノズル近辺では、出口圧力が 44 kg/cm<sup>2</sup>, 55 kg/cm<sup>2</sup> で、圧

縮強度が約 90 kg/cm<sup>2</sup>, 110 kg/cm<sup>2</sup> 前後のものまで容易に破碎されていることは明らかである。またこの事実は他の研究者達によつてもある程度確認されており、その一例として文献-8) において、ソビエトの研究者の実験によれば、噴流の動圧  $p$  と破碎される岩石の圧縮強度  $\sigma_0$  との関係は、殊に石炭について

$$\sigma_0 \approx 2p$$

という説を提唱しているが、これなどは上記の実験結果とかなり一致してくる。

次に A 領域での破碎現象について観察してみると、既に 2 章で述べたように、また文献-7) にも述べたように、作用円の中心附近はノズル出口圧力が 44 kg/cm<sup>2</sup> の場合、圧縮強度が 50 kg/cm<sup>2</sup> の岩石について破碎実験を

## 水噴流による水中の岩盤の理論的破碎過程について

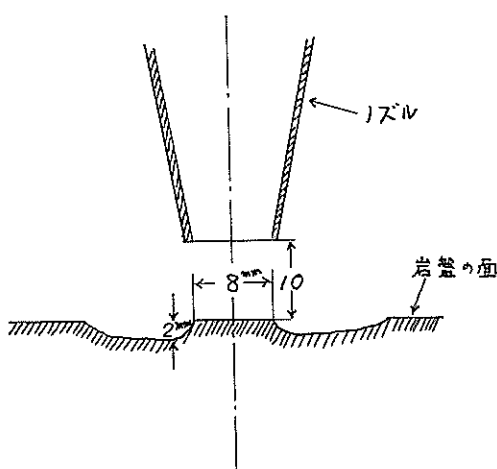


図-20 コア領域における岩盤の破碎状況



写真-1 コア領域における岩盤の破碎状況

行ったが、ほとんど破碎されずに、図-20 および写真に示すような形になり、先に考えた理論を裏づけることが出来た。殊に圧縮強度  $\sigma_c = 35 \text{ kg/cm}^2$  の試料について行った実験では瞬時に作用円下深く破碎されることもはっきり確認出来た。またノズル出口圧力が  $11 \text{ mm}\phi$  ノズルを使用した場合の  $55 \text{ kg/cm}^2$  の時における同様な実験でも A 領域における掘削実験では、全く同一の結果が観察された。

### 4. あとがき

今回の実験の結果、水中における水噴流の掘削能力として、ノズル中心軸上の流速の約 2 倍の値前後の圧縮強度をもつモルタル試料の破碎が可能であることがわかったが、これは噴流の最大の圧力が  $44 \text{ kg/cm}^2$  ( $13 \text{ mm}\phi$  ノズル)、 $54 \text{ kg/cm}^2$  ( $11 \text{ mm}\phi$  ノズル) の場合について言えたことで、これ以上高い圧力を用い、またより大き

な圧縮強度をもつ試料について同様なことが言えるかどうか現在のところはっきりしない。また破碎試料としてモルタルのみを使用したが、これだけでは実験データとしては、全く不足で他の天然岩石の多数について今後実験を行い、以上の理論を確めたい。しかし、多くの天然岩石では、その組成が多種多様であるため、今まで考えて来た考えは適用することは困難であろう。

なお、今回は単に岩石の破碎強度としての圧縮強度  $\sigma_c$  と、ノズル中心軸の圧力  $\sigma$  との関係についてのみ検討したが、これはもっぱら実用的な便宜を考慮した上で行ったことであり、今回の実験結果から、両者のおよその傾向がつかめたと思われる。

また使用したノズルも、わずか 2 種類であり、実験による確認が不足であるような感じを与えるが、今回はこれだけに限った。殊にノズルの制作上の精度などについては、検討していないので、今後この点についても調査して行きたい。

### 参考文献

- 1) "The theory of turbulent jets" abramovich
- 2) "水力採炭、水力輸送" ムーチニク、イグナトフ編
- 3) "土木技術者のための岩盤力学" 土木学会
- 4) "材料試験便覧" 日本材料試験協会
- 5) "地下、分布荷重によって生じる地盤内の鉛直応力と変位の計算" 西田義親(土と基礎) 1965 年 11 月号
- 6) "弾性・塑性論" Н.И. БЕЗУХОВ
- 7) "高压噴流の構造に関する実験結果およびモルタル試料掘削実験結果について" 藤井、守口、近藤 "港湾技研資料 No. 60"
- 8) "高速の水噴流による岩石の破壊" 山門憲雄、横田章 "土木学会論文集 133 号"

### 記号表

- $u$ : 噴流の任意の点における  $x$  軸方向の速度  
 $u_m$ : 噴流の中心軸上における速度  
 $x$ : ノズルからの距離  
 $y$ : ノズル中心軸からの距離  
 $\gamma$ : 水の比重  
 $g$ : 重力の加速度  
 $F$ : 微小面積が受ける荷重  
 $A_s$ : 微小面積  
 $C$ : 噴流の実験によって求まる常数  
 $\varphi$ :  $y/cx$   
 $f(\varphi)$ : Tollmien によって求められた噴流の速度分布を定める函数

$\Delta A$ : 微小面積	$n$ : 数値積分する際, 作用円の半円部分を半径方向に分割した分割数
$s$ : 応力を求める点から, 荷重までの距離	
$S_0$ : 応力を求める点から, 作用円までの距離	
$\sigma_{rz}$ : 沿直方向の垂直応力 (Boussinesq の式より)	
$\sigma_r$ : 半径方向の垂直応力	$\Delta\theta_a : \pi/m$
$\sigma_\theta$ : 接線方向の垂直応力	$\Delta s_a : (a+R)/n$
$\tau_{rz}$ : せん断応力	$K : 1$ から $n$ までの整数値
$\sigma_z$ : 図-2 の G 点に作用する垂直応力	$L : 1$ から $m$ までの整数値
$\tau_{xy}$ : 図-5 の AB 平面に作用するせん断応力	$s' : \Delta s_a/2 + (K-1)\Delta s_a (K=1 \sim n)$
$\tau_{zx}$ : 図-5 の ABC 平面に作用するせん断応力	$\theta' : \Delta\theta_a/2 + (L-1)\Delta\theta_a (L=1 \sim m)$
$A_0$ : 図-5, 6 の平面 ABC の面積	$\varphi' : 3.4\sqrt{\left(\frac{R}{a}\right)^2 + \left(\frac{s'}{a}\right)^2 - 2\left(\frac{R}{a}\right)\left(\frac{s'}{a}\right)\cos\theta'}$
$\theta$ : 図-2 において, 応力を求める点 G と荷重の作用する点 Q を結ぶ直線 $\alpha$ が軸となす角度	$\sigma_1$ : 岩盤の内部のある点における最大主応力
$\sigma_z$ : 図-2 において, G 点に作用する $z$ 軸方向の垂直応力	$\sigma_2$ : 岩盤の内部のある点における中間主応力
$A_{mn'}$ : 数値積分する際, 作用円を分割したとき生ずる微小部分の面積	$\sigma_3$ : 岩盤の内部のある点における最小主応力
$m$ : 数値積分する際, 作用円の半円部分を扇形に分割した分割数	$\sigma_o$ : 岩盤のもつ圧縮強度
	$\sigma_t$ : 岩盤のもつ引張強度
	$\sigma$ : 主応力
	$R$ : 図-2 において作用円の中心から, 点 G までの距離

(1969.4.5 受付)

附表-1-1 13 mm $\phi$  ノズル使用の場合地盤が岩盤の各点におけるばす応力、および限界の圧縮強度  $\sigma_c$   
ノズルからの距離=1.0 cm ポアソン比=0.25 作用円半径=0.8 cm

		E	0	0.1	0.2	0.3	0.4	0.5	0.6	0.7	0.8	0.9	1.0
		D	0.0	0.1	0.2	0.4	0.5	0.6	0.7	0.8	1.0	1.1	1.2
		C	$\sigma_x$	0.00	-2.38	2.48	-0.71	-7.19	-6.82	-4.79	-3.26	-2.69	-2.32
0	0	$\sigma_z$	43.84	43.84	43.84	43.84	43.84	43.84	43.84	43.84	43.84	43.84	43.84
		$\tau_{xz}$	0.00	0.00	0.00	0.00	0.00	0.00	0.00	0.00	0.00	0.00	0.00
		$\sigma_c$	44.03	67.81	44.03	44.03	52.10	89.68	68.89	48.10	32.62	26.93	23.24
		$\sigma_c$	49.02	50.16	50.16	50.16	50.49	42.45	20.21	8.29	7.03	4.99	4.64
0.1	0.12	$\sigma_x$	20.55	19.92	18.06	14.20	11.08	8.70	5.04	2.08	0.71	-0.10	-0.37
		$\sigma_z$	48.81	49.93	50.65	49.60	38.22	13.08	2.69	0.81	0.24	0.06	0.03
		$\tau_{xz}$	0.00	0.74	1.97	4.96	11.25	8.98	3.73	1.70	0.81	0.37	0.19
		$\sigma_c$	49.02	50.16	50.98	50.49	42.45	20.21	8.29	7.03	4.99	4.31	4.64
0.2	0.24	$\sigma_x$	12.07	11.44	10.11	8.45	8.01	8.47	6.82	4.74	3.29	1.86	1.03
		$\sigma_z$	41.93	41.72	40.25	35.82	27.26	13.31	5.53	2.24	1.00	0.40	0.18
		$\tau_{xz}$	0.00	1.99	4.62	8.10	11.05	9.98	6.49	3.71	2.25	1.20	0.68
		$\sigma_c$	42.10	42.02	41.11	38.19	32.43	21.25	16.21	11.64	8.47	5.27	3.35
0.3	0.36	$\sigma_x$	6.30	5.98	5.65	5.51	5.99	6.75	6.05	5.17	4.26	2.94	1.94
		$\sigma_z$	36.79	36.15	33.77	28.86	22.27	13.42	7.20	3.68	2.08	0.97	0.50
		$\tau_{xz}$	0.00	2.65	5.57	8.23	9.95	9.46	6.99	5.83	3.44	2.07	1.26
		$\sigma_c$	36.95	36.54	34.98	31.60	27.10	20.20	17.62	13.94	11.20	7.56	5.00
0.4	0.48	$\sigma_x$	3.00	2.93	3.15	3.60	4.33	5.09	4.89	4.71	4.27	3.32	2.40
		$\sigma_z$	31.27	30.55	28.16	23.87	18.95	12.92	7.84	4.72	3.08	1.64	0.91
		$\tau_{xz}$	0.00	2.67	5.32	7.31	8.50	8.36	6.62	5.19	4.10	2.72	1.77
		$\sigma_c$	31.41	30.94	29.37	26.34	22.95	20.57	17.41	14.68	12.52	9.04	6.28
0.5	0.60	$\sigma_x$	1.24	1.30	1.69	2.31	3.05	3.74	3.79	3.97	3.84	3.25	2.52
		$\sigma_z$	26.10	25.47	23.43	19.97	16.35	12.08	7.90	5.33	3.82	2.26	1.34
		$\tau_{xz}$	0.00	2.36	4.60	6.14	7.10	7.17	5.95	5.08	4.30	3.10	2.14
		$\sigma_c$	26.21	25.80	24.47	21.99	19.76	16.65	14.57	12.90	9.80	7.08	

B=表面からの深さ (cm) A=B/作用円半径 C=応力の種類 D=作用円の中心からの距離 (cm)  
 $\sigma_x$ = $x$ 軸方向垂直応力 (kg/cm<sup>2</sup>)  $\sigma_z$ =鉛直方向垂直応力 (kg/cm<sup>2</sup>)  $\tau_{xz}$ =せん断応力 (kg/cm<sup>2</sup>)  
 $\sigma_c$ =破碎される岩石の限界の圧縮強度 (kg/cm<sup>2</sup>)

附表-1-2 13mm $\phi$  ノズル使用の場合噴流が岩盤の各点におよぼす応力、および限界の正縮強度  $\sigma_c$   
ノズルからの距離=5.0m ポアソン比=0.25 作用円半径=1.0cm

		E	0	0.1	0.2	0.3	0.4	0.5	0.6	0.7	0.8	0.9	1.0
		D	0.0	0.1	0.2	0.3	0.4	0.5	0.6	0.7	0.8	0.9	1.0
A	B	C	$\sigma_x$	0.00	-1.74	-4.66	-5.99	-5.69	-4.77	-3.80	-3.01	-2.39	-1.93
0.0	0.00		$\sigma_z$	87.69	73.53	45.23	22.50	10.02	4.30	1.86	0.83	0.39	-1.58
			$\tau_{xz}$	0.00	0.00	0.00	0.00	0.00	0.00	0.00	0.00	0.00	0.10
			$\sigma_o$	88.05	91.26	92.09	82.50	67.04	52.01	39.95	30.93	24.32	19.49
0.1	0.11		$\sigma_x$	19.65	19.26	17.09	12.99	8.50	4.93	2.58	1.19	0.41	0.00
			$\sigma_z$	88.11	77.97	52.39	28.68	13.85	6.29	2.82	1.28	0.59	0.29
			$\tau_{xz}$	0.00	9.10	12.26	10.09	6.50	3.70	2.00	1.08	0.60	0.34
			$\sigma_o$	88.48	79.68	56.47	33.76	18.28	9.41	4.72	2.32	1.12	0.75
0.2	0.22		$\sigma_x$	7.24	7.89	9.05	9.19	8.00	6.17	4.39	2.96	1.93	1.24
			$\sigma_z$	56.32	51.21	37.92	23.82	13.36	7.02	3.58	1.82	0.93	0.49
			$\tau_{xz}$	0.00	7.52	11.22	10.79	8.28	5.61	3.56	2.20	1.37	0.86
			$\sigma_o$	56.55	52.70	41.94	29.66	19.47	12.27	7.60	4.69	3.16	2.54
0.3	0.33		$\sigma_x$	2.63	3.28	4.71	5.83	6.06	5.50	4.55	3.54	2.65	1.95
			$\sigma_z$	46.13	37.24	29.58	20.64	13.08	7.78	4.46	2.52	1.42	0.82
			$\tau_{xz}$	0.00	5.43	8.73	9.35	8.12	6.23	4.44	3.05	2.07	1.40
			$\sigma_o$	40.30	38.24	32.47	25.27	18.50	13.03	8.99	6.82	5.46	4.20
0.4	0.44		$\sigma_x$	0.78	1.25	2.37	3.52	4.20	4.30	3.96	3.40	2.79	2.22
			$\sigma_z$	29.73	28.05	23.45	17.69	12.31	8.08	5.11	3.16	1.94	1.20
			$\tau_{xz}$	0.00	3.81	6.44	7.43	7.06	5.94	4.64	3.47	2.53	1.83
			$\sigma_o$	29.85	28.70	25.37	20.96	16.46	12.97	10.67	8.62	6.90	5.39
0.5	0.55		$\sigma_x$	0.02	0.33	1.14	2.07	2.80	3.17	3.19	2.96	2.61	2.21
			$\sigma_z$	22.68	21.66	18.79	15.00	11.19	7.93	5.42	3.62	2.38	1.57
			$\tau_{xz}$	0.00	2.70	4.73	5.75	5.83	5.27	4.42	3.53	2.73	2.08
			$\sigma_o$	22.77	22.12	20.51	18.39	16.10	13.73	11.45	9.40	7.65	6.11

B=表面からのおよび垂直応力 [kg/cm<sup>2</sup>]

$\sigma_x$ =x 軸方向垂直応力 [kg/cm<sup>2</sup>]

$\sigma_z$ =鉛直方向垂直応力 [kg/cm<sup>2</sup>]

$\sigma_o$ =せん断応力 [kg/cm<sup>2</sup>]

$\tau_{xz}$ =せん断応力 [kg/cm<sup>2</sup>]

$\sigma_c$ =破壊される岩石の限界の正縮強度 [kg/cm<sup>2</sup>]

D=作用円の中心からのおよび距離 (cm)

E=D/作用円半径

$\tau_{xz}$ =せん断応力 [kg/cm<sup>2</sup>]

附表-1-3 13 mm $\phi$ ノズル使用の場合噴流が岩盤の各点におよぼす応力、および限界の圧縮強度  $\sigma_c$   
ノズルからの距離=10.0 cm ポアソン比=0.25 作用円半径=D=2.2 cm

		E	0	0.1	0.2	0.3	0.4	0.5	0.6	0.7	0.8	0.9	1.0
		D	C	B	A								
0.0	0.00	0.00	0.22	0.44	0.66	0.88	1.10	1.32	1.54	1.76	1.98	2.20	率
	$\sigma_x$	0.00	-1.08	-2.89	-3.71	-3.53	-2.96	-2.36	-1.87	-1.48	-1.20	-0.98	
	$\sigma_z$	54.40	45.62	28.06	13.96	6.22	2.67	1.15	0.52	0.24	0.12	0.06	
0.1	0.22	0.00	0.00	0.00	0.00	0.00	0.00	0.00	0.00	0.00	0.00	0.00	率
	$\tau_{xz}$	54.63	56.62	57.13	51.18	41.59	32.27	24.78	19.19	15.09	12.09	9.85	
	$\sigma_c$												
0.2	0.44	0.19	11.95	10.61	8.06	5.27	3.06	1.60	0.74	0.26	0.00	-0.13	
	$\sigma_x$	54.66	48.37	32.50	17.80	8.59	3.90	1.75	0.79	0.37	0.18	0.07	
	$\sigma_z$	0.00	5.65	7.60	6.26	4.03	2.30	1.24	0.67	0.37	0.21	0.14	
0.3	0.66	0.00	49.43	35.03	20.94	11.34	5.84	2.93	1.44	1.31	1.71	2.16	
	$\tau_{xz}$	54.89											
	$\sigma_c$												
0.4	0.88	0.49	4.87	5.62	5.70	4.97	3.83	2.72	1.84	1.20	0.77	0.48	
	$\sigma_x$	34.94	31.77	23.52	14.78	8.29	4.35	2.22	1.13	0.58	0.31	0.15	
	$\sigma_z$	0.00	4.67	6.96	6.69	5.14	3.48	2.21	1.37	0.85	0.53	0.35	
0.5	1.10	0.50	35.08	32.69	26.02	18.40	12.08	7.61	4.71	2.91	1.96	1.41	
	$\tau_{xz}$	25.00	23.73	20.15	15.68	11.47	8.08	5.57	4.23	3.39	2.61	2.08	
	$\sigma_c$												
0.6	1.32	1.63	2.03	2.92	3.62	3.76	3.41	2.82	2.19	1.65	1.21	0.88	
	$\sigma_x$	24.90	23.10	18.35	12.80	8.11	4.82	2.77	1.56	0.88	0.51	0.29	
	$\sigma_z$	0.00	3.37	5.42	5.80	5.04	3.87	2.76	1.89	1.29	0.87	0.59	
0.7	1.54	1.86	2.50	2.92	3.37	3.73	3.87	3.41	2.82	2.22	1.65	1.21	
	$\sigma_x$	18.52	17.80	15.74	13.00	10.21	8.05	6.62	5.57	4.23	3.39	2.61	
	$\sigma_z$	0.00	2.36	4.00	4.61	4.38	3.69	2.88	2.15	1.57	1.13	0.81	
0.8	1.76	1.98	2.44	2.18	2.60	2.67	2.46	2.11	1.74	1.38	1.08	0.46	
	$\sigma_x$	18.44	17.40	14.55	10.97	7.63	5.01	3.17	1.96	1.21	0.74	0.46	
	$\sigma_z$	0.00	1.67	2.93	3.57	3.62	2.27	2.74	2.19	1.70	1.29	0.97	
0.9	1.98	2.18	2.71	2.29	2.74	1.96	1.98	1.84	1.62	1.37	1.14	0.64	
	$\sigma_x$	13.44	11.66	9.30	6.94	4.92	3.36	2.24	1.48	0.97	0.64	0.35	
	$\sigma_z$	0.00	1.67	2.93	3.57	3.62	2.27	2.74	2.19	1.70	1.29	0.97	
1.0	2.18	2.38	2.91	2.41	2.93	2.52	2.29	2.10	1.76	1.45	1.14	0.74	
	$\sigma_x$	13.73	12.73	11.41	9.99	8.52	7.10	5.83	4.75	3.79	3.04	2.08	
	$\sigma_z$	14.13											

B=表面からの深さ (cm) A=B/作用円半径 C=応力の種類  
 $\sigma_x=x$ 軸方向垂直応力 (kg/cm<sup>2</sup>)  $\sigma_z=鉛直方向垂直応力 (kg/cm^2)$   $\sigma_c=せん断応力 (kg/cm^2)$   
 $\sigma_c=破碎される岩石の限界の圧縮強度 (kg/cm^2)$  D=作用円の中心から距離 (cm)  $\Sigma=D/\text{作用円半径}$

附表-1-4 13mm $\phi$ ノズル使用の場合噴流が岩盤の各点におよぼす応力、および限界の圧縮強度  $\sigma_c$   
ノズルからの距離 = 15.0 cm ポアソン比 = 0.25 作用円半径 = 3.3 cm

		E	0	0.1	0.2	0.3	0.4	0.5	0.6	0.7	0.8	0.9	1.0	
		D	0.00	0.33	0.66	0.99	1.32	1.65	1.98	2.31	2.64	2.97	3.30	
A	B	C	$\sigma_x$	$\sigma_z$	$\tau_{xz}$	$\sigma_c$	$\sigma_x$	$\sigma_z$	$\tau_{xz}$	$\sigma_c$	$\sigma_x$	$\sigma_z$	$\tau_{xz}$	$\sigma_c$
0.0	0.00	$\sigma_x$	0.00	-0.63	-1.68	-2.16	-2.05	-1.72	-1.37	-1.08	-0.86	-0.70	-0.57	
		$\sigma_z$	31.60	26.50	16.30	8.11	3.61	1.55	0.67	0.30	0.14	0.07	0.03	
		$\tau_{xz}$	0.00	0.00	0.00	0.00	0.00	0.00	0.00	0.00	0.00	0.00	0.00	
		$\sigma_c$	31.73	30.89	33.19	29.73	24.16	18.74	14.40	11.15	8.76	7.02	5.72	
0.1	0.33	$\sigma_x$	7.08	6.94	6.16	4.68	3.06	1.78	0.93	0.43	0.15	0.00	-0.08	
		$\sigma_z$	31.75	28.10	18.88	10.34	4.99	2.27	1.01	0.46	0.21	0.10	0.04	
		$\tau_{xz}$	0.00	3.28	4.42	3.64	2.34	1.33	0.72	0.39	0.21	0.12	0.08	
		$\sigma_c$	31.89	28.71	20.35	12.17	6.59	3.39	1.70	0.84	0.76	0.99	1.26	
0.2	0.66	$\sigma_x$	2.61	2.84	3.26	3.31	2.88	2.22	1.58	1.07	0.70	0.45	0.28	
		$\sigma_z$	20.29	18.45	13.66	8.58	4.82	2.53	1.29	0.66	0.34	0.18	0.09	
		$\tau_{xz}$	0.00	2.71	4.04	3.89	2.99	2.02	1.28	0.79	0.49	0.31	0.20	
		$\sigma_c$	20.38	18.99	15.11	10.69	7.02	4.42	2.74	1.69	1.14	0.92	0.82	
0.3	0.99	$\sigma_x$	0.95	1.18	1.70	2.10	2.18	1.98	1.64	1.28	0.96	0.70	0.51	
		$\sigma_z$	14.46	13.42	10.66	7.44	4.71	2.80	1.61	0.91	0.51	0.29	0.17	
		$\tau_{xz}$	0.00	1.96	3.15	3.37	2.93	2.25	1.60	1.10	0.75	0.50	0.35	
		$\sigma_c$	14.52	13.78	11.70	9.11	6.67	4.69	3.24	2.46	1.97	1.51	1.21	
0.4	1.32	$\sigma_x$	0.28	0.45	0.85	1.27	1.51	1.55	1.43	1.23	1.01	0.80	0.63	
		$\sigma_z$	10.71	10.11	8.45	6.37	4.43	2.91	1.84	1.14	0.70	0.43	0.27	
		$\tau_{xz}$	0.00	1.37	2.32	2.68	2.54	2.14	1.67	1.25	0.91	0.66	0.47	
		$\sigma_c$	10.76	10.34	9.14	7.55	5.93	4.67	3.84	3.11	2.49	1.94	1.54	
0.5	1.65	$\sigma_x$	0.01	0.12	0.41	0.75	1.01	1.14	1.15	1.07	0.94	0.80	0.66	
		$\sigma_z$	8.17	7.81	6.77	5.40	4.03	2.86	1.95	1.30	0.86	0.57	0.37	
		$\tau_{xz}$	0.00	0.97	1.70	2.07	2.10	1.90	1.59	1.27	0.98	0.75	0.56	
		$\sigma_c$	8.21	7.97	7.39	6.63	5.80	4.95	4.12	3.39	2.76	2.20	1.76	

B = 表面からの深さ (cm) A = B//作用円半径 C = 応力の種類  
 $\sigma_x$  = x 軸方向垂直応力 (kg/cm<sup>2</sup>) D = 作用円の中心からの距離 (cm)  
 $\sigma_z$  = 鉛直方向垂直応力 (kg/cm<sup>2</sup>)  $\tau_{xz}$  = せん断応力 (kg/cm<sup>2</sup>) E = D/作用円半径

附表-1-5 13mm $\phi$  ノズル使用の場合噴流が岩盤の各点におよぼす応力、および限界の圧縮強度  $\sigma_c$   
ノズルからの距離=20.0cm ポアソン比=0.25 作用円半径=4.4cm

A		E	0	0.1	0.2	0.3	0.4	0.5	0.6	0.7	0.8	0.9	1.0
B		D	0.00	0.44	0.88	1.32	1.76	2.20	2.64	3.08	3.52	3.96	4.40
C		$\sigma_x$	0.00	-0.45	-1.21	-1.56	-1.48	-1.24	-0.99	-0.78	-0.62	-0.50	-0.41
0	0.00	$\sigma_z$	22.80	19.12	11.76	5.85	2.61	1.12	0.48	0.22	0.10	0.05	0.02
		$\tau_{xz}$	0.00	0.00	0.00	0.00	0.00	0.00	0.00	0.00	0.00	0.00	0.00
		$\sigma_c$	22.90	23.73	23.94	21.45	17.43	13.52	10.39	8.04	6.32	5.07	4.13
0.1	0.44	$\sigma_x$	5.11	5.01	4.44	3.38	2.21	1.28	0.67	0.31	0.11	0.00	-0.06
		$\sigma_z$	22.91	20.27	13.62	7.46	3.60	1.64	0.73	0.33	0.15	0.07	0.03
		$\tau_{xz}$	0.00	2.37	3.19	2.62	1.69	0.96	0.52	0.28	0.16	0.09	0.06
		$\sigma_c$	23.01	20.72	14.68	8.78	4.75	2.45	1.23	0.60	0.55	0.72	0.91
0.2	0.88	$\sigma_x$	1.88	2.05	2.35	2.39	2.08	1.60	1.14	0.77	0.50	0.32	0.20
		$\sigma_z$	14.64	13.31	9.86	6.19	3.47	1.82	0.93	0.47	0.24	0.13	0.06
		$\tau_{xz}$	0.00	1.96	2.92	2.81	2.15	1.46	0.92	0.57	0.36	0.22	0.15
		$\sigma_c$	14.70	13.70	10.91	7.71	5.06	3.19	1.97	1.22	0.82	0.66	0.59
0.3	1.32	$\sigma_x$	0.68	0.85	1.22	1.52	1.58	1.43	1.18	0.92	0.69	0.51	0.37
		$\sigma_z$	10.43	9.68	7.69	5.37	3.40	2.02	1.16	0.66	0.37	0.21	0.12
		$\tau_{xz}$	0.00	1.41	2.27	2.43	2.11	1.62	1.16	0.79	0.54	0.36	0.25
		$\sigma_c$	10.48	9.94	8.44	6.57	4.81	3.39	2.34	1.77	1.42	1.09	0.87
0.4	1.76	$\sigma_x$	0.20	0.32	0.62	0.91	1.09	1.12	1.03	0.88	0.73	0.58	0.45
		$\sigma_z$	7.73	7.29	6.10	4.60	3.20	2.10	1.33	0.82	0.51	0.31	0.19
		$\tau_{xz}$	0.00	0.99	1.68	1.93	1.83	1.55	1.21	0.90	0.66	0.47	0.34
		$\sigma_c$	7.76	7.46	6.60	5.45	4.28	3.37	2.77	2.24	1.79	1.40	1.11
0.5	2.20	$\sigma_x$	0.00	0.09	0.30	0.54	0.73	0.82	0.83	0.77	0.68	0.58	0.48
		$\sigma_z$	5.90	5.63	4.89	3.90	2.91	2.06	1.41	0.94	0.62	0.41	0.27
		$\tau_{xz}$	0.00	0.70	1.23	1.50	1.52	1.37	1.15	0.92	0.71	0.54	0.41
		$\sigma_c$	5.92	5.75	5.33	4.78	4.19	3.57	2.98	2.44	1.99	1.59	1.27

B=表面からのはさ (cm) A=B//作用円半径 C=応力の種類  
 $\sigma_x=x$  軸方向垂直応力 (kg/cm<sup>2</sup>)  $\sigma_z=鉛直方向垂直応力 (kg/cm^2)$   
 $\sigma_c=破壊される岩石の限界の圧縮強度 (kg/cm^2)$

D=作用円の中心からのはさ距離 (cm) E=D/作用円半径  
 $\tau_{xz}=せん断応力 (kg/cm^2)$

附表-1-6 13mm $\phi$  ナズル使用の場合噴流が岩盤の各点におよぼす応力、および限界の正縮強度  $\sigma_c$   
ノズルからの距離=25.0cm ポアソン比=0.25 作用円半径=5.5cm

		E		0	0.1	0.2	0.3	0.4	0.5	0.6	0.7	0.8	0.9	1.0
A	B	C	D	0.00	0.55	1.10	1.65	2.20	2.75	3.30	3.85	4.40	4.95	5.50
0.0	0.00	$\sigma_x$	0.00	-0.31	-0.82	-1.05	-1.00	-0.84	-0.67	-0.53	-0.42	-0.34	-0.28	
		$\sigma_z$	15.40	12.91	7.94	3.95	1.76	0.76	0.33	0.15	0.07	0.03	0.02	
		$\tau_{xz}$	0.00	0.00	0.00	0.00	0.00	0.00	0.00	0.00	0.00	0.00	0.00	
		$\sigma_o$	15.46	16.03	16.17	14.49	11.77	9.13	7.02	5.43	4.27	3.42	2.79	
0.1	0.55	$\sigma_x$	3.45	3.38	3.00	2.28	1.49	0.87	0.45	0.21	0.07	0.00	-0.04	
		$\sigma_z$	15.47	13.69	9.20	5.04	2.43	1.10	0.49	0.22	0.10	0.05	0.02	
		$\tau_{xz}$	0.00	1.60	2.15	1.77	1.14	0.65	0.35	0.19	0.10	0.06	0.04	
		$\sigma_o$	15.54	13.99	9.92	5.93	3.21	1.65	0.83	0.41	0.37	0.48	0.61	
0.2	1.10	$\sigma_x$	1.27	1.38	1.59	1.61	1.41	1.08	0.77	0.52	0.34	0.22	0.14	
		$\sigma_z$	9.89	8.99	6.66	4.18	2.35	1.23	0.63	0.32	0.16	0.09	0.04	
		$\tau_{xz}$	0.00	1.32	1.97	1.89	1.45	0.98	0.62	0.39	0.24	0.15	0.10	
		$\sigma_o$	9.93	9.25	7.37	5.21	3.42	2.15	1.33	0.82	0.55	0.45	0.40	
0.3	1.65	$\sigma_x$	0.46	0.58	0.83	1.02	1.05	0.97	0.80	0.62	0.47	0.34	0.25	
		$\sigma_z$	7.05	6.54	5.19	3.62	2.30	1.37	0.78	0.44	0.25	0.14	0.08	
		$\tau_{xz}$	0.00	0.95	1.53	1.64	1.43	1.09	0.78	0.54	0.36	0.25	0.17	
		$\sigma_o$	7.08	6.72	5.70	4.44	3.25	2.29	1.58	1.20	0.96	0.74	0.59	
0.4	2.20	$\sigma_x$	0.14	0.22	0.42	0.62	0.74	0.75	0.70	0.60	0.49	0.39	0.31	
		$\sigma_z$	5.22	4.93	4.12	3.11	2.16	1.42	0.90	0.56	0.34	0.21	0.13	
		$\tau_{xz}$	0.00	0.67	1.13	1.30	1.24	1.04	0.82	0.61	0.44	0.32	0.23	
		$\sigma_o$	5.24	5.04	4.46	3.68	2.89	2.28	1.87	1.51	1.21	0.95	0.75	
0.5	2.75	$\sigma_x$	0.00	0.06	0.20	0.36	0.49	0.56	0.52	0.46	0.39	0.32		
		$\sigma_z$	3.98	3.80	3.30	2.63	1.97	1.39	0.95	0.64	0.42	0.28	0.18	
		$\tau_{xz}$	0.00	0.47	0.83	1.01	1.02	0.93	0.78	0.62	0.48	0.36	0.27	
		$\sigma_o$	4.00	3.89	3.60	3.23	2.83	2.41	2.01	1.65	1.34	1.07	0.86	

E=D/作用円半径

D=作用円の中心からノズルまでの距離(cm)

C=応力の種類

A=B/作用円半径

B=表面からの深さ(cm)

$\sigma_x$ =x軸方向垂直応力(kg/cm<sup>2</sup>)

$\sigma_z$ =せん断応力(kg/cm<sup>2</sup>)

$\sigma_o$ =破壊される岩石の限界の正縮強度(kg/cm<sup>2</sup>)

附表1-7 11mm $\phi$  ノズル使用の場合噴流が岩盤の各点におよぼす応力、および限界の圧縮強度  $\sigma_c$   
ノズルからの距離=1.0cm ポアソン比=0.25 作用円半径=0.8cm

A B C D	E	0		0.1		0.2		0.3		0.4		0.5		0.6		0.7		0.8		0.9		
		$\sigma_x$	$\sigma_z$	0.0	0.1	0.2	0.4	0.5	0.6	0.7	0.8	1.0	1.1	1.2								
0.0	0.00	53.39	53.39	4.96	-1.77	-2.20	-2.75	5.02	-11.18	-7.67	-8.63	-6.17	-5.84									
	$\sigma_x$	0.00	0.00	53.39	53.39	53.39	53.39	53.39	71.83	2.55	0.37	0.00	0.00	0.00	0.00	0.00	0.00	0.00	0.00	0.00	0.00	
	$\sigma_z$	0.00	0.00	0.00	0.00	0.00	0.00	0.00	0.00	0.00	0.00	0.00	0.00	0.00	0.00	0.00	0.00	0.00	0.00	0.00	0.00	
	$\tau_{xz}$	53.62	53.62	71.35	75.60	81.16	72.13	114.48	77.11	86.40	61.76	58.40										
0.1	0.12	59.57	61.35	28.89	28.55	28.56	24.95	18.67	16.00	9.95	4.87	1.34	-0.36									
	$\sigma_x$	0.00	0.21	62.91	65.18	72.51	77.72	34.16	4.21	1.34	0.35	0.10										
	$\sigma_z$	0.00	0.21	0.26	-0.53	-1.17	9.51	21.92	3.60	1.49	0.62											
	$\tau_{xz}$	60.13	61.60	63.17	65.46	72.85	79.54	49.01	24.66	16.13	9.74	8.47										
0.2	0.24	53.63	53.78	20.19	19.85	18.31	14.61	11.34	12.91	12.78	9.41	6.19	3.36									
	$\sigma_x$	0.00	0.85	53.78	54.37	55.91	55.64	51.29	28.30	10.82	4.79	1.90	0.66									
	$\sigma_z$	0.00	0.85	1.67	2.29	6.29	13.96	17.59	12.78	7.72	4.34	2.13										
	$\tau_{xz}$	53.85	54.02	54.68	56.28	56.82	55.92	39.97	34.90	84.83	16.85	9.69										
0.3	0.36	50.56	50.19	12.86	12.79	11.50	9.86	9.33	10.70	11.20	9.69	7.85	5.53									
	$\sigma_x$	0.00	1.63	3.48	5.29	9.65	14.24	15.83	13.46	9.54	6.53	3.80										
	$\sigma_z$	0.00	1.63	50.47	50.78	51.13	48.77	45.48	35.83	34.22	27.31	21.40	14.22									
	$\tau_{xz}$	50.77	50.47																			
0.4	0.48	46.57	45.79	7.71	8.04	7.40	7.08	7.62	8.67	9.29	8.71	7.81	6.39									
	$\sigma_x$	0.00	2.15	45.40	44.27	39.19	33.23	23.70	15.51	9.56	5.88	2.98										
	$\sigma_z$	0.00	2.15	4.65	6.77	10.42	13.27	14.10	12.69	9.96	7.62	5.13										
	$\tau_{xz}$	46.76	46.10	46.17	45.67	42.45	39.03	32.30	32.22	27.49	22.99	22.99	17.26									
0.5	0.60	41.84	40.81	4.91	4.37	4.98	4.83	5.14	6.09	6.94	7.57	7.44	7.09	6.41								
	$\sigma_x$	0.00	2.32	40.25	38.64	33.77	28.83	21.89	15.61	10.58	7.16	4.20										
	$\sigma_z$	0.00	2.32	7.04	9.95	11.94	12.44	11.56	9.67	7.92	5.96	5.96										
	$\tau_{xz}$	42.01	41.13	41.12	40.21	37.05	34.09	30.06	30.41	26.74	23.06	18.91										

B=表面からの深さ(cm) A=B/作用円半径 C=応力の種類 D=作用円の中心からの距離(cm)  
 $\sigma_x=x$  軸方向垂直応力 (kg/cm<sup>2</sup>)  $\sigma_z=z$  軸方向垂直応力 (kg/cm<sup>2</sup>)  $\tau_{xz}=せん断応力 (kg/cm^2)$   
 $\sigma_c=破壊されるる岩石の限界の圧縮強度 (kg/cm^2)$

附表-1-8 11mm $\phi$  ノズル使用の場合噴流が岩盤の各点におよぼす応力、および限界の圧縮強度  $\sigma_c$   
ノズルからの距離=5.0cm ポアソン比=0.25 作用円半径=1.10cm

A B C	D	E		0	0.1	0.2	0.3	0.4	0.5	0.6	0.7	0.8	0.9	1.0
		$\sigma_x$	$\sigma_z$	0.00	-2.12	-5.68	-7.29	-6.93	-5.80	-4.63	-3.66	-2.91	-2.35	-1.92
0.0	0.00	$\sigma_x$	$\sigma_z$	106.79	89.55	55.08	27.40	12.20	5.24	2.27	1.01	0.47	0.23	0.12
		$\tau_{xz}$	$\tau_{zz}$	0.00	0.00	0.00	0.00	0.00	0.00	0.00	0.00	0.00	0.00	0.00
		$\sigma_o$	$\sigma_o$	107.24	111.14	112.15	100.47	81.65	63.34	48.65	37.67	29.62	23.73	19.33
0.1	0.11	$\sigma_x$	$\sigma_z$	23.93	23.46	20.82	15.82	10.35	6.00	3.14	1.45	0.50	0.00	-0.26
		$\sigma_x$	$\sigma_z$	107.31	94.95	63.81	34.93	16.86	7.66	3.43	1.55	0.72	0.35	0.13
		$\tau_{xz}$	$\tau_{zz}$	0.00	11.09	14.93	12.29	7.91	4.51	2.44	1.31	0.73	0.41	0.27
		$\sigma_o$	$\sigma_o$	107.76	97.04	68.77	41.11	22.26	11.46	5.75	2.83	2.58	3.35	4.25
0.2	0.22	$\sigma_x$	$\sigma_z$	8.82	9.60	11.03	11.20	9.75	7.52	5.34	3.61	2.36	1.51	0.94
		$\sigma_x$	$\sigma_z$	68.58	62.36	46.18	29.01	16.27	8.54	4.36	2.22	1.14	0.60	0.29
		$\tau_{xz}$	$\tau_{zz}$	0.00	9.16	13.17	13.14	10.09	6.83	4.33	2.68	1.67	1.05	0.68
		$\sigma_o$	$\sigma_o$	68.87	64.18	51.08	36.12	23.71	14.94	9.25	5.71	3.84	3.09	2.77
0.3	0.33	$\sigma_x$	$\sigma_z$	3.20	3.99	5.73	7.10	7.38	6.70	5.54	4.31	3.23	2.37	1.72
		$\sigma_x$	$\sigma_z$	48.87	45.35	36.02	25.14	15.93	9.47	5.43	3.07	1.73	0.99	0.56
		$\tau_{xz}$	$\tau_{zz}$	0.00	6.61	10.64	11.39	9.89	7.59	5.41	3.72	2.52	1.71	1.17
		$\sigma_o$	$\sigma_o$	49.07	46.58	39.55	30.77	22.53	15.86	10.94	8.31	6.65	5.12	4.08
0.4	0.44	$\sigma_x$	$\sigma_z$	0.95	1.52	2.89	4.28	5.11	5.23	4.82	4.14	3.40	2.71	2.12
		$\sigma_x$	$\sigma_z$	36.20	34.16	28.56	21.54	14.99	9.84	6.22	3.85	2.37	1.46	0.90
		$\tau_{xz}$	$\tau_{zz}$	0.00	4.64	7.85	9.05	8.59	7.24	5.65	4.22	3.08	2.22	1.59
		$\sigma_o$	$\sigma_o$	36.35	34.95	30.90	25.52	20.04	15.80	12.99	10.49	8.40	6.56	5.19
0.5	0.55	$\sigma_x$	$\sigma_z$	0.02	0.40	1.39	2.53	3.41	3.86	3.88	3.61	3.18	2.70	2.23
		$\sigma_x$	$\sigma_z$	27.62	26.38	22.88	18.26	13.63	9.66	6.60	4.41	2.90	1.91	1.25
		$\tau_{xz}$	$\tau_{zz}$	0.00	3.28	5.76	7.00	7.10	6.42	5.38	4.30	3.33	2.53	1.90
		$\sigma_o$	$\sigma_o$	27.73	26.94	24.98	22.40	19.60	16.72	13.94	11.45	9.32	7.44	5.96

B=表面からのはざき (cm) A=B/作用円半径 C=応力の種類  
 $\sigma_x$ =x 軸方向垂直応力 ( $\text{kg}/\text{cm}^2$ )  $\sigma_z$ =鉛直方向垂直応力 ( $\text{kg}/\text{cm}^2$ )  
 $\sigma_o$ =破壊される岩石の限界の圧縮強度 ( $\text{kg}/\text{cm}^2$ )

D=作用円の中心からの距離 (cm)  
 $\tau_{xz}$ =せん断応力 ( $\text{kg}/\text{cm}^2$ )

E=D/作用円半径

附表-1-9 11 mm $\phi$  / ヌズル使用の場合噴流が岩盤の各点におよぼす応力、および限界の圧縮強度  $\sigma_c$   
ノズルからの距離=1.0 cm ポアソン比=0.25 作用円半径=2.20 cm

		E		D		C		B		A	
		0	0.1	0.2	0.3	0.4	0.5	0.6	0.7	0.8	0.9
0.0	0.00	$\sigma_x$ 83.76	-1.66 70.24	-4.45 43.20	-5.72 21.49	9.57 0.00	4.11 0.00	1.78 0.00	-3.63 0.00	-2.87 0.00	-1.84 0.00
	$\sigma_z$ 0.00	0.00	0.00	0.00	0.00	0.00	0.00	0.00	0.37	0.18	0.09
	$\tau_{xz}$ $\sigma_c$ 84.11	87.17	87.96	78.80	64.04	49.68	38.16	29.55	23.23	18.62	15.16
0.1	0.22	$\sigma_x$ 84.17	18.77 74.48	16.33 50.05	12.41 27.40	8.12 13.23	4.71 6.01	2.46 2.69	1.14 1.22	0.39 0.57	0.00 0.27
	$\sigma_z$ 0.00	8.69	11.71	9.14	6.21	3.53	1.91	1.03	0.57	0.32	0.10
	$\tau_{xz}$ $\sigma_c$ 84.52	76.11	53.94	32.25	17.46	8.99	4.51	2.22	2.02	3.63	3.33
0.2	0.44	$\sigma_x$ 53.79	6.92 48.91	7.53 36.22	8.65 22.75	8.78 12.76	7.64 6.70	5.89 3.42	4.19 1.74	2.83 0.89	1.18 0.47
	$\sigma_z$ 0.00	7.19	10.72	10.30	7.91	5.36	3.40	2.10	1.31	0.82	0.23
	$\tau_{xz}$ $\sigma_c$ 54.02	50.34	40.06	28.33	18.60	11.72	7.25	4.48	3.01	2.43	2.17
0.3	0.66	$\sigma_x$ 38.33	2.51 35.57	3.13 28.25	4.50 19.71	5.57 12.49	5.79 7.43	5.25 4.26	4.34 2.41	3.38 2.92	1.86 1.36
	$\sigma_z$ 0.00	5.19	8.34	8.93	7.76	5.95	4.25	3.40	2.10	1.34	0.92
	$\tau_{xz}$ $\sigma_c$ 38.49	36.53	31.02	24.13	17.67	12.44	8.58	6.52	5.22	4.01	3.20
0.4	0.88	$\sigma_x$ 28.39	0.75 0.00	1.19 3.64	2.27 6.15	3.36 7.10	4.01 6.74	4.10 5.68	3.78 4.43	3.25 3.31	2.67 2.41
	$\sigma_z$ 0.00	27.41	24.23	20.02	15.72	12.39	10.19	8.23	6.59	5.15	4.07
	$\tau_{xz}$ $\sigma_c$ 28.51	28.51	27.41	24.23	20.02	15.72	12.39	10.19	8.23	6.59	5.15
0.5	1.10	$\sigma_x$ 21.66	0.02 0.00	0.32 2.58	1.09 4.51	1.98 5.49	2.68 5.57	3.03 5.03	3.04 4.22	2.83 3.37	2.49 2.61
	$\sigma_z$ 0.00	21.75	21.13	19.60	17.57	15.38	13.12	10.93	8.98	7.31	5.84
	$\tau_{xz}$ $\sigma_c$ 21.75	21.75	21.13	19.60	17.57	15.38	13.12	10.93	8.98	7.31	5.84

B=表面から深さ (cm) A=B/作用円半径 C=応力の種類 D=作用円の中心から距離 (cm)  
 $\sigma_x$ =x 軸方向垂直応力 (kg/cm<sup>2</sup>) E=D//作用円半径  
 $\sigma_z$ =せん断応力 (kg/cm<sup>2</sup>)  $\tau_{xz}$ =せん断応力 (kg/cm<sup>2</sup>)  
 $\sigma_o$ =被碎される岩石の限界の圧縮強度 (kg/cm<sup>2</sup>)

附表-1-10 11mm $\phi$  ノズル使用の場合噴流が岩盤の各点におよぼす応力、および限界の圧縮強度  $\sigma_c$   
ノズルからの距離=15.0cm ポアソン比=0.25 作用円半径=3.30cm

		E	0	0.1	0.2	0.3	0.4	0.5	0.6	0.7	0.8	0.9	1.0
		D	0.0	0.3	0.7	1.0	1.3	1.6	2.0	2.3	2.6	3.0	3.3
A	B	C	$\sigma_x$	0.00	-1.02	-2.73	-3.50	-3.33	-2.79	-2.23	-1.76	-1.40	-1.13
0.0	0.00	$\sigma_z$	51.29	43.01	26.46	13.16	5.86	2.52	1.09	0.49	0.23	0.11	-0.92
	$\tau_{xz}$	0.00	0.00	0.00	0.00	0.00	0.00	0.00	0.00	0.00	0.00	0.00	0.00
	$\sigma_\theta$	51.51	53.38	53.87	48.26	39.22	30.43	23.37	18.09	14.23	11.40	9.29	9.29
0.1	0.33	$\sigma_x$	11.49	11.27	10.00	7.60	4.97	2.88	1.51	0.70	0.24	0.00	-0.13
	$\sigma_z$	51.54	45.61	30.65	16.78	8.10	3.68	1.65	0.75	0.35	0.17	0.06	0.06
	$\tau_{xz}$	0.00	5.32	7.17	5.90	3.80	2.16	1.17	0.63	0.35	0.20	0.13	0.13
0.2	0.66	$\sigma_x$	51.76	46.61	33.03	19.75	10.69	5.50	2.76	1.36	1.24	1.61	2.04
	$\sigma_z$	32.94	29.96	22.18	13.93	7.82	4.10	2.09	1.06	0.55	0.29	0.14	0.45
	$\tau_{xz}$	0.00	4.40	6.57	6.31	4.85	3.28	2.08	1.29	0.80	0.50	0.33	0.33
0.3	0.99	$\sigma_x$	33.08	30.83	24.53	17.35	11.39	7.18	4.44	2.74	1.85	1.49	1.33
	$\sigma_z$	23.47	21.78	17.30	12.07	7.65	4.55	2.61	1.47	0.83	0.48	0.27	0.83
	$\tau_{xz}$	0.00	3.18	5.11	5.47	4.75	3.65	2.60	1.79	1.21	0.82	0.56	0.56
0.4	1.32	$\sigma_x$	23.57	22.37	19.00	14.78	10.82	7.62	5.26	3.99	3.19	2.46	1.96
	$\sigma_z$	17.39	16.41	13.72	10.35	7.20	4.73	2.99	1.85	1.14	0.70	0.43	1.02
	$\tau_{xz}$	0.00	2.23	3.77	4.35	4.13	3.48	2.72	2.03	1.48	1.06	0.77	0.77
0.5	1.65	$\sigma_x$	17.46	16.79	14.84	12.26	9.63	7.59	6.24	5.04	4.04	3.15	2.49
	$\sigma_z$	13.26	12.67	10.99	8.77	6.55	4.64	3.17	2.12	1.39	0.92	0.60	1.07
	$\tau_{xz}$	0.00	1.58	2.76	3.36	3.41	3.08	2.58	2.06	1.60	1.21	0.91	2.86
		$\sigma_\theta$	13.32	12.94	12.00	10.76	9.42	8.03	6.70	5.50	4.47	3.57	3.57

B = 表面からの深さ (cm) A = B/作用円半径 C = 応力の種類  
 $\sigma_x$  = x 軸方向垂直応力 (kg/cm<sup>2</sup>) D = 作用円の中心から の距離 (cm)  
 $\sigma_z$  = 鉛直方向垂直応力 (kg/cm<sup>2</sup>) E = D/作用円半径  
 $\sigma_\theta$  = 岩石の限界の圧縮強度 (kg/cm<sup>2</sup>)  $\tau_{xz}$  =せん断応力 (kg/cm<sup>2</sup>)

附表-1-11 11 mm $\phi$  ノズル使用の場合噴流が岩盤の各点におよぼす応力、および限界の正縮強度  $\sigma_c$   
ノズルからの距離=20.0 cm ポアソン比=0.25 作用円半径=4.40 cm

A B	C	D	E	0	0.1	0.2	0.3	0.4	0.5	0.6	0.7	0.8	0.9	1.0	E = D / 作用円半径 D = 作用円の中心から の距離 (cm)	
				$\sigma_x$	$\sigma_z$	$\tau_{xz}$	$\sigma_c$	$\sigma_x$	$\sigma_z$	$\tau_{xz}$	$\sigma_c$	$\sigma_x$	$\sigma_z$	$\tau_{xz}$	$\sigma_c$	
0.0	0.00	0.0	0	-0.58	-1.54	-1.98	-1.88	-1.58	-1.26	-0.99	-0.79	-0.64	-0.52	-0.52	E = D / 作用円半径 D = 作用円の中心から の距離 (cm)	
			$\sigma_x$	28.99	24.31	14.95	7.44	3.31	1.42	0.62	0.27	0.13	0.06	0.03		
			$\sigma_z$	0.00	0.00	0.00	0.00	0.00	0.00	0.00	0.00	0.00	0.00	0.00		
0.1	0.44	0.0	$\sigma_x$	6.49	5.37	5.65	4.29	2.81	1.63	0.85	0.39	0.14	0.00	-0.07	E = D / 作用円半径 D = 作用円の中心から の距離 (cm)	
			$\sigma_z$	29.13	25.78	17.32	9.48	4.58	2.08	0.93	0.42	0.20	0.09	0.04		
			$\tau_{xz}$	0.00	3.01	4.05	3.34	2.15	1.22	0.66	0.36	0.20	0.11	0.07		
0.2	0.88	0.0	$\sigma_x$	29.25	26.34	18.67	11.16	6.04	3.11	1.56	0.77	0.70	0.91	1.15	E = D / 作用円半径 D = 作用円の中心から の距離 (cm)	
			$\sigma_z$	2.39	2.61	2.99	3.04	2.65	2.04	1.45	0.98	0.64	0.41	0.25		
			$\tau_{xz}$	18.62	16.92	12.53	7.87	4.42	2.32	1.18	0.60	0.31	0.16	0.08		
0.3	1.32	0.0	$\sigma_x$	18.70	17.42	13.87	9.81	6.44	4.06	2.51	1.55	1.04	0.84	0.75	E = D / 作用円半径 D = 作用円の中心から の距離 (cm)	
			$\sigma_z$	0.57	1.08	1.56	1.93	2.00	1.82	1.50	1.17	0.88	0.64	0.47		
			$\tau_{xz}$	13.27	12.31	9.78	6.82	4.32	2.57	1.47	0.83	0.47	0.27	0.15		
0.4	1.76	0.0	$\sigma_x$	9.83	9.27	7.75	5.85	4.07	2.67	1.69	1.05	0.64	0.40	0.24	E = D / 作用円半径 D = 作用円の中心から の距離 (cm)	
			$\sigma_z$	0.90	1.26	2.13	2.46	2.33	1.96	1.53	1.15	0.84	0.60	0.43		
			$\tau_{xz}$	9.87	9.49	8.39	6.93	5.44	4.29	3.53	2.85	2.28	1.78	1.41		
0.5	2.20	0.0	$\sigma_x$	0.01	0.11	0.38	0.69	0.93	1.05	1.05	0.98	0.86	0.73	0.61	E = D / 作用円半径 D = 作用円の中心から の距離 (cm)	
			$\sigma_z$	7.50	7.16	6.21	4.96	3.70	2.62	1.79	1.20	0.79	0.52	0.34		
			$\tau_{xz}$	0.00	0.89	1.56	1.90	1.93	1.74	1.46	1.17	0.90	0.69	0.52		
				$\sigma_c$	7.53	7.31	6.78	6.08	5.32	4.54	3.78	3.11	2.53	2.02	1.62	

B = 表面からの深さ (cm)

A = B / 作用円半径

C = 応力の種類

D = 作用円の中心から の距離 (cm)

$\sigma_x$  = x 軸方向垂直応力 (kg/cm<sup>2</sup>)

$\sigma_z$  = 鉛直方向垂直応力 (kg/cm<sup>2</sup>)

$\tau_{xz}$  = 岩石の限界の正縮強度 (kg/cm<sup>2</sup>)

$\sigma_c$  = 破壊される岩石の限界の正縮強度 (kg/cm<sup>2</sup>)

$\tau_{xz}$  =せん断応力 (kg/cm<sup>2</sup>)

附表-1-12 11mm $\phi$ ノズル使用の場合噴流が岩盤の各点におよぼす応力、および限界の圧縮強度  $\sigma_o$   
ノズルからの距離=25.0cm ポアソン比=0.25 作用円半径=5.50cm

A E	E				D				C				B				A						
	0	0.1	0.2	0.3	0.4	0.5	0.6	0.7	0.8	0.9	1.0	0	0.5	1.1	1.6	2.2	2.7	3.3	3.8	4.4	4.9	5.5	
0.0 0.00	$\sigma_x$	0.00	-0.34	-0.91	-1.17	-1.11	-0.93	-0.74	-0.59	-0.47	-0.38	-0.31											
	$\sigma_z$	17.07	14.31	8.80	4.38	0.84	0.36	0.16	0.08	0.04	0.02	0.00											
	$\tau_{xz}$	0.00	0.00	0.00	0.00	0.00	0.00	0.00	0.00	0.00	0.00	0.00											
0.1 0.55	$\sigma_x$	3.82	3.75	3.33	2.53	1.65	0.96	0.50	0.23	0.08	0.00	-0.04											
	$\sigma_z$	17.15	15.18	10.20	5.58	2.70	1.22	0.55	0.25	0.12	0.06	0.02											
	$\tau_{xz}$	0.00	1.77	2.39	1.96	1.27	0.72	0.39	0.21	0.12	0.07	0.04											
0.2 1.10	$\sigma_x$	17.22	15.51	10.99	6.57	3.56	1.83	0.92	0.45	0.41	0.54	0.68											
	$\sigma_z$	1.41	1.53	1.76	1.79	1.56	1.20	0.85	0.58	0.38	0.24	0.15											
	$\tau_{xz}$	10.96	9.97	7.38	4.64	2.60	1.37	0.70	0.35	0.18	0.10	0.05											
0.3 1.65	$\sigma_x$	0.00	1.46	2.18	2.10	1.61	1.09	0.69	0.43	0.27	0.17	0.11											
	$\sigma_z$	11.01	10.26	8.16	5.77	3.79	2.39	1.48	0.91	0.61	0.49	0.44											
	$\tau_{xz}$	7.81	7.25	5.76	4.02	2.55	1.51	0.87	0.49	0.28	0.16	0.09											
0.4 2.20	$\sigma_x$	0.00	1.06	1.70	1.82	1.58	1.21	0.87	0.59	0.40	0.27	0.19											
	$\sigma_z$	5.59	7.84	7.44	6.32	4.92	3.60	2.54	1.75	1.33	1.06	0.82											
	$\tau_{xz}$	5.46	5.79	4.56	3.44	2.40	1.57	0.99	0.62	0.38	0.23	0.14											
0.5 2.75	$\sigma_x$	0.00	0.06	0.22	0.40	0.55	0.62	0.62	0.58	0.51	0.43	0.36											
	$\sigma_z$	4.41	4.22	3.66	2.92	2.18	1.54	1.05	0.70	0.46	0.31	0.20											
	$\tau_{xz}$	0.00	0.52	0.92	1.12	1.13	1.03	0.86	0.69	0.53	0.40	0.30											
— 104 —																							

B=表面からの深さ (cm) A=B/作用円半径 C=応力の種類

$\sigma_x$ = $x$ 軸方向垂直応力 (kg/cm<sup>2</sup>)  $\sigma_z$ =鉛直方向垂直応力 (kg/cm<sup>2</sup>)

$\tau_{xz}$ =せん断応力 (kg/cm<sup>2</sup>)  $D$ =作用円の中心からの距離 (cm)

E=D//作用円半径

$\tau_{xz}$ =被碎される岩石の限界の圧縮強度 (kg/cm<sup>2</sup>)

附表-2-1 ノズルからの各距離における岩盤の表面に生ずる各応力、および限界の圧縮強度 (13 mmφ ノズル使用の場合)

		4				0				0.1				0.2				0.3				0.4				0.5				0.6				0.7				0.8				0.9				1.0							
		3		2		1																																															
5.0	1.10	$\sigma_x$	0.00	-2.79	-7.46	-9.58	-9.11	-7.63	-6.09	-4.81	-3.83	-3.09	-2.52	$\sigma_z$	87.69	73.53	45.23	22.50	10.02	4.30	1.86	0.83	0.39	0.19	0.10	$\tau_{xz}$	0.00	0.00	0.00	0.00	0.00	0.00	0.00	0.00	0.00	0.00	0.00	0.00	$\sigma_c$	101.71	120.09	118.44	101.23	80.63	62.79	48.99	38.68	31.07	25.34				
10.0	2.20	$\sigma_x$	0.00	-1.73	-4.63	-5.94	-5.65	-4.73	-3.78	-2.98	-2.37	-1.91	-1.56	$\sigma_z$	54.38	45.60	28.05	13.95	6.21	2.67	1.15	0.52	0.24	0.12	0.06	$\tau_{xz}$	0.00	0.00	0.00	0.00	0.00	0.00	0.00	0.00	0.00	0.00	0.00	0.00	$\sigma_c$	63.07	74.47	73.45	62.78	50.00	38.94	30.38	23.98	19.27	15.72				
15.0	3.30	$\sigma_x$	0.00	-1.01	-2.69	-3.46	-3.29	-2.75	-2.20	-1.74	-1.38	-1.11	-0.91	$\sigma_z$	31.66	26.55	16.33	8.12	3.62	1.55	0.67	0.30	0.14	0.07	0.03	$\tau_{xz}$	0.00	0.00	0.00	0.00	0.00	0.00	0.00	0.00	0.00	0.00	0.00	0.00	$\sigma_c$	31.79	36.72	43.36	42.76	36.55	29.11	22.67	17.69	13.96	11.22	9.15			
20.0	4.40	$\sigma_x$	0.00	-0.72	-1.93	-2.48	-2.36	-2.08	-1.58	-1.25	-0.99	-0.80	-0.65	$\sigma_z$	22.37	19.06	11.73	5.83	2.60	1.11	0.48	0.22	0.10	0.05	0.02	$\tau_{xz}$	0.00	0.00	0.00	0.00	0.00	0.00	0.00	0.00	0.00	0.00	0.00	0.00	$\sigma_c$	22.83	26.37	31.13	30.71	26.24	20.90	16.28	12.70	10.03	8.05	6.57			
25.0	5.50	$\sigma_x$	0.00	-0.46	-1.24	-1.59	-1.51	-1.27	-1.01	-0.80	-0.64	-0.51	-0.42	$\sigma_z$	14.58	12.23	7.52	3.74	1.67	0.72	0.31	0.14	0.06	0.03	0.02	$\tau_{xz}$	0.00	0.00	0.00	0.00	0.00	0.00	0.00	0.00	0.00	0.00	0.00	0.00	$\sigma_c$	16.91	19.97	19.69	16.83	13.41	10.44	8.15	6.43	5.17	4.21				
30.0	6.60	$\sigma_x$	0.00	-0.33	-0.89	-1.15	-1.09	-0.91	-0.73	-0.58	-0.46	-0.37	-0.30	$\sigma_z$	10.51	8.82	5.42	2.70	1.20	0.52	0.22	0.10	0.05	0.02	0.01	$\tau_{xz}$	0.00	0.00	0.00	0.00	0.00	0.00	0.00	0.00	0.00	0.00	0.00	0.00	$\sigma_c$	10.56	12.20	14.40	12.14	9.67	7.53	5.87	4.64	3.73	3.04				

1 ノズルと岩盤の距離 (cm)

3 応力の種類  
4 作用円中心からの距離)/(作用円半径)

2 作用円半径 (cm)

附表-2-2 ノズルからの各距離における岩盤の表面に生ずる各応力、および限界の正縮強度  
(13 mmφ ノズル使用の場合)

		ボアンシ比 0.15 の場合														
		1	2	3	4	0	0.1	0.2	0.3	0.4	0.5	0.6	0.7	0.8	0.9	1.0
5.0	1.10	$\sigma_x$	0.00	-2.44	-6.53	-8.38	-7.97	-6.67	-5.33	-4.21	-3.35	-2.70	-2.21			
		$\sigma_z$	87.69	73.53	45.23	22.50	10.02	4.30	1.86	0.83	0.39	0.19	0.10			
		$\tau_{xz}$	0.00	0.00	0.00	0.00	0.00	0.00	0.00	0.00	0.00	0.00	0.00			
		$\sigma_\theta$	88.05	98.23	110.75	106.46	89.84	71.09	55.18	42.97	33.89	27.21	22.19			
10.0	2.20	$\sigma_x$	0.00	-1.51	-4.05	-5.20	-4.94	-4.14	-3.30	-2.61	-2.08	-1.67	-1.37			
		$\sigma_z$	54.38	45.60	28.05	13.95	6.21	2.67	1.15	0.52	0.24	0.12	0.06			
		$\tau_{xz}$	0.00	0.00	0.00	0.00	0.00	0.00	0.00	0.00	0.00	0.00	0.00			
		$\sigma_\theta$	54.61	60.91	68.68	66.02	55.71	44.09	34.22	26.65	21.02	16.87	13.76			
15.0	3.30	$\sigma_x$	0.00	-0.88	-2.36	-3.03	-2.88	-2.41	-1.92	-1.52	-1.21	-0.97	-0.80			
		$\sigma_z$	31.66	26.55	16.33	8.12	3.62	1.55	0.67	0.30	0.14	0.07	0.03			
		$\tau_{xz}$	0.00	0.00	0.00	0.00	0.00	0.00	0.00	0.00	0.00	0.00	0.00			
		$\sigma_\theta$	31.79	35.46	39.99	38.44	32.43	25.67	19.92	15.51	12.24	9.82	8.01			
20.0	4.40	$\sigma_x$	0.00	-0.63	-1.69	-2.17	-2.07	-1.73	-1.38	-1.09	-0.87	-0.70	-0.57			
		$\sigma_z$	22.73	19.06	11.73	5.83	2.60	1.11	0.48	0.22	0.10	0.05	0.02			
		$\tau_{xz}$	0.00	0.00	0.00	0.00	0.00	0.00	0.00	0.00	0.00	0.00	0.00			
		$\sigma_\theta$	22.83	25.47	28.71	27.60	23.29	18.43	14.30	11.14	8.79	7.05	5.75			
25.0	5.50	$\sigma_x$	0.00	-0.41	-1.09	-1.39	-1.11	-0.89	-0.70	-0.56	-0.45	-0.37				
		$\sigma_z$	14.58	12.23	7.52	3.74	1.67	0.72	0.31	0.14	0.06	0.03	0.02			
		$\tau_{xz}$	0.00	0.00	0.00	0.00	0.00	0.00	0.00	0.00	0.00	0.00	0.00			
		$\sigma_\theta$	14.64	16.33	18.42	17.70	14.94	11.82	9.17	7.14	5.64	4.52	3.69			
30.0	6.60	$\sigma_x$	0.00	-0.29	-0.78	-1.00	-0.96	-0.80	-0.64	-0.50	-0.40	-0.32	-0.26			
		$\sigma_z$	10.51	8.82	5.42	2.70	1.20	0.52	0.22	0.10	0.05	0.02	0.01			
		$\tau_{xz}$	0.00	0.00	0.00	0.00	0.00	0.00	0.00	0.00	0.00	0.00	0.00			
		$\sigma_\theta$	10.56	11.78	13.28	12.77	10.77	8.52	6.62	5.15	4.06	3.26	2.66			

1 ノズルと岩盤の距離 (cm)

2 作用円半径 (cm)

3 応力の種類

4 (作用円中心からの距離)/(作用円半径)

附表-2-3 ノズルからの各距離における岩盤の表面に生ずる各応力、および限界の圧縮強度 (13 mmφノズル使用の場合)  
ボアソン比 0.20 の場合

		4	0	0.1	0.2	0.3	0.4	0.5	0.6	0.7	0.8	0.9	1.0
		3											
5.0	1.10	$\sigma_x$	0.00	-2.09	-5.60	-7.18	-6.83	-5.72	-4.57	-3.61	-2.87	-2.31	-1.89
		$\sigma_z$	87.69	73.53	45.23	22.50	10.02	4.30	1.86	0.83	0.39	0.19	0.10
		$\tau_{xz}$	0.00	0.00	0.00	0.00	0.00	0.00	0.00	0.00	0.00	0.00	0.00
		$\sigma_c$	88.05	94.74	101.42	94.48	78.44	61.55	47.56	36.95	29.10	23.35	19.03
10.0	2.20	$\sigma_x$	0.00	-1.30	-3.47	-4.45	-4.24	-3.55	-2.83	-2.24	-1.78	-1.44	-1.17
		$\sigma_z$	54.38	45.60	28.05	13.95	6.21	2.67	1.15	0.52	0.24	0.12	0.06
		$\tau_{xz}$	0.00	0.00	0.00	0.00	0.00	0.00	0.00	0.00	0.00	0.00	0.00
		$\sigma_c$	54.61	58.75	62.89	58.59	48.64	38.17	29.49	22.91	18.05	14.48	11.80
15.0	3.30	$\sigma_x$	0.00	-0.75	-2.02	-2.59	-2.47	-2.07	-1.65	-1.30	-1.04	-0.84	-0.68
		$\sigma_z$	31.86	26.55	16.33	8.12	3.62	1.55	0.67	0.30	0.14	0.07	0.03
		$\tau_{xz}$	0.00	0.00	0.00	0.00	0.00	0.00	0.00	0.00	0.00	0.00	0.00
		$\sigma_c$	31.79	34.21	36.62	34.11	28.32	22.22	17.17	13.34	10.51	8.43	6.87
20.0	4.40	$\sigma_x$	0.00	-0.54	-1.45	-1.86	-1.77	-1.48	-1.18	-0.94	-0.74	-0.60	-0.49
		$\sigma_z$	22.73	19.06	11.73	5.83	2.60	1.11	0.48	0.22	0.10	0.05	0.02
		$\tau_{xz}$	0.00	0.00	0.00	0.00	0.00	0.00	0.00	0.00	0.00	0.00	0.00
		$\sigma_c$	22.83	24.56	26.29	24.49	20.34	15.96	12.33	9.58	7.55	6.05	4.93
25.0	5.50	$\sigma_x$	0.00	-0.35	-0.93	-1.19	-1.14	-0.95	-0.76	-0.60	-0.48	-0.38	-0.31
		$\sigma_z$	14.58	12.23	7.52	3.74	1.67	0.72	0.31	0.14	0.06	0.03	0.02
		$\tau_{xz}$	0.00	0.00	0.00	0.00	0.00	0.00	0.00	0.00	0.00	0.00	0.00
		$\sigma_c$	14.64	15.75	16.86	15.71	13.04	10.23	7.91	6.14	4.84	3.88	3.16
30.0	6.60	$\sigma_x$	0.00	-0.25	-0.57	-0.86	-0.82	-0.67	-0.55	-0.43	-0.34	-0.28	-0.23
		$\sigma_z$	10.51	8.82	5.42	2.70	1.20	0.52	0.22	0.10	0.05	0.02	0.01
		$\tau_{xz}$	0.00	0.00	0.00	0.00	0.00	0.00	0.00	0.00	0.00	0.00	0.00
		$\sigma_c$	10.56	11.36	12.16	11.33	9.41	7.38	5.70	4.43	3.49	2.80	2.28

1 ノズルと岩盤の距離 (cm)

3 応力の種類

2 作用円半径 (cm)

4 (作用円中心からの距離)/(作用円半径)

ノズルからの各距離における岩盤の表面に生ずる各応力、および限界の圧縮強度 (13 mmφ ノズル使用の場合)  
ボアソン比 0.25 の場合

		4	0	0.1	0.2	0.3	0.4	0.5	0.6	0.7	0.8	0.9	1.0
		$\sigma_x$	0.00	-1.74	-4.66	-5.99	-5.69	-4.77	-3.80	-3.01	-2.39	-1.93	-1.58
1		$\sigma_z$	87.69	73.53	45.23	22.50	10.02	4.30	1.86	0.83	0.39	0.19	0.10
		$\tau_{xz}$	0.00	0.00	0.00	0.00	0.00	0.00	0.00	0.00	0.00	0.00	0.00
		$\sigma_c$	88.05	91.26	92.09	82.50	67.04	52.01	39.95	30.93	24.32	19.49	15.87
2		$\sigma_x$	0.00	-1.08	-2.89	-3.71	-3.53	-2.96	-2.36	-1.87	-1.48	-1.20	-0.98
		$\sigma_z$	54.38	45.60	28.05	13.95	6.21	2.67	1.15	0.52	0.24	0.12	0.06
		$\tau_{xz}$	0.00	0.00	0.00	0.00	0.00	0.00	0.00	0.00	0.00	0.00	0.00
		$\sigma_c$	54.61	56.59	57.11	51.16	41.58	32.26	24.77	19.18	15.08	12.09	9.84
3		$\sigma_x$	0.00	-0.63	-1.68	-2.16	-2.06	-1.72	-1.37	-1.09	-0.86	-0.70	-0.57
		$\sigma_z$	31.66	26.55	16.33	8.12	3.62	1.55	0.67	0.30	0.14	0.07	0.03
		$\tau_{xz}$	0.00	0.00	0.00	0.00	0.00	0.00	0.00	0.00	0.00	0.00	0.00
		$\sigma_c$	31.79	32.95	33.25	29.79	24.20	18.78	14.42	11.17	8.78	7.04	5.73
4		$\sigma_x$	0.00	-0.45	-1.21	-1.55	-1.48	-1.24	-0.99	-0.78	-0.62	-0.50	-0.41
		$\sigma_z$	22.73	19.06	11.73	5.83	2.60	1.11	0.48	0.22	0.10	0.05	0.02
		$\tau_{xz}$	0.00	0.00	0.00	0.00	0.00	0.00	0.00	0.00	0.00	0.00	0.00
		$\sigma_c$	22.83	23.66	23.87	21.39	17.38	13.48	10.36	8.02	6.30	5.05	4.12
5		$\sigma_x$	0.00	-0.29	-0.78	-1.00	-0.95	-0.79	-0.63	-0.50	-0.40	-0.32	-0.26
		$\sigma_z$	14.58	12.23	7.52	3.74	1.67	0.72	0.31	0.14	0.06	0.03	0.02
		$\tau_{xz}$	0.00	0.00	0.00	0.00	0.00	0.00	0.00	0.00	0.00	0.00	0.00
		$\sigma_c$	14.64	15.17	15.31	13.72	11.15	8.65	6.64	5.14	4.04	3.24	2.64
6		$\sigma_x$	0.00	-0.21	-0.56	-0.72	-0.68	-0.57	-0.46	-0.36	-0.29	-0.23	-0.19
		$\sigma_z$	10.51	8.82	5.42	2.70	1.20	0.52	0.22	0.10	0.05	0.02	0.01
		$\tau_{xz}$	0.00	0.00	0.00	0.00	0.00	0.00	0.00	0.00	0.00	0.	0.00
		$\sigma_c$	10.56	10.94	11.04	9.89	8.04	6.24	4.79	3.71	2.92	2.34	1.90

### ノズルと岩盤の距離(cm)

### 3 応力の種類

## 2 作業円半径 (cm)

4 (作用円中心からの距離)/(作用円半径)

附表-2-5 ノズルからの各距離における岩盤の表面に生ずる各応力、および限界の圧縮強度 (13 mmφ ノズル使用の場合)  
ボアソン比 0.30 の場合

		4	0	0.1	0.2	0.3	0.4	0.5	0.6	0.7	0.8	0.9	1.0
5.0 1.10	$\sigma_x$	0.00	-1.39	-3.73	-4.79	-4.56	-3.81	-3.04	-2.41	-1.91	-1.54	-1.26	
	$\sigma_z$	87.69	73.53	45.23	22.50	10.02	4.30	1.86	0.83	0.39	0.19	0.10	
	$\tau_{xz}$	0.00	0.00	0.00	0.00	0.00	0.00	0.00	0.00	0.00	0.00	0.00	
	$\sigma_c$	88.05	87.77	82.75	70.52	55.65	42.47	32.33	24.91	19.53	15.63	12.72	
10.0 2.20	$\sigma_x$	0.00	-0.86	-2.31	-2.97	-2.82	-2.36	-1.89	-1.49	-1.19	-0.96	-0.78	
	$\sigma_z$	54.38	45.60	28.05	13.95	6.21	2.67	1.15	0.52	0.24	0.12	0.06	
	$\tau_{xz}$	0.00	0.00	0.00	0.00	0.00	0.00	0.00	0.00	0.00	0.00	0.00	
	$\sigma_c$	54.61	54.43	51.32	43.73	34.51	26.34	20.05	15.45	12.11	9.69	7.89	
15.0 3.30	$\sigma_x$	0.00	-0.50	-1.35	-1.73	-1.64	-1.38	-1.10	-0.87	-0.69	-0.59	-0.46	
	$\sigma_z$	31.66	26.55	16.33	8.12	3.62	1.55	0.67	0.30	0.14	0.07	0.03	
	$\tau_{xz}$	0.00	0.00	0.00	0.00	0.00	0.00	0.00	0.00	0.00	0.00	0.00	
	$\sigma_c$	31.79	31.69	29.88	25.46	20.09	15.33	11.67	8.99	7.05	5.64	4.59	
20.0 4.40	$\sigma_x$	0.00	-0.36	-0.97	-1.24	-1.18	-0.99	-0.79	-0.62	-0.50	-0.40	-0.33	
	$\sigma_z$	22.73	19.06	11.73	5.83	2.60	1.11	0.48	0.22	0.10	0.05	0.02	
	$\tau_{xz}$	0.00	0.00	0.00	0.00	0.00	0.00	0.00	0.00	0.00	0.00	0.00	
	$\sigma_c$	22.83	22.76	21.45	18.28	14.43	11.01	8.38	6.46	5.06	4.05	3.30	
25.0 5.50	$\sigma_x$	0.00	-0.23	-0.62	-0.80	-0.76	-0.63	-0.51	-0.40	-0.32	-0.26	-0.21	
	$\sigma_z$	14.58	12.23	7.52	3.74	1.67	0.72	0.31	0.14	0.06	0.03	0.02	
	$\tau_{xz}$	0.00	0.00	0.00	0.00	0.00	0.00	0.00	0.00	0.00	0.00	0.00	
	$\sigma_c$	14.64	14.59	13.76	11.73	9.25	7.06	5.38	4.14	3.25	2.60	2.11	
30.0 6.60	$\sigma_x$	0.00	-0.17	-0.45	-0.57	-0.55	-0.46	-0.37	-0.29	-0.23	-0.19	-0.15	
	$\sigma_z$	10.51	8.82	5.42	2.70	1.20	0.52	0.22	0.10	0.05	0.02	0.01	
	$\tau_{xz}$	0.00	0.00	0.00	0.00	0.00	0.00	0.00	0.00	0.00	0.00	0.00	
	$\sigma_c$	10.56	10.52	9.92	8.46	6.67	5.09	3.88	2.99	2.34	1.87	1.53	

1 ノズルと岩盤の距離 (cm)

3 応力の種類

2 作用円半径 (cm)

4 (作用円中心からの距離) / (作用円半径)

附表-2-6 ノズルからの各距離における岩盤の表面に生ずる各応力、および限界の圧縮強度 (11 mmφ ノズル使用の場合)  
ボアソン比 0.10 の場合

		4	3	2	1	0	0.1	0.2	0.3	0.4	0.5	0.6	0.7	0.8	0.9	1.0
5.0	1.10	$\sigma_x$	0.00	-3.39	-9.09	-11.66	-11.10	-9.29	-7.41	-5.86	-4.66	-3.76	-3.07			
		$\sigma_z$	106.79	89.55	55.08	27.40	12.20	5.24	2.27	1.01	0.47	0.23	0.12			
		$\tau_{xz}$	0.00	0.00	0.00	0.00	0.00	0.00	0.00	0.00	0.00	0.00	0.00			
		$\sigma_c$	107.24	123.87	146.25	144.24	123.28	98.20	76.47	59.66	47.10	37.84	30.86			
10.0	2.20	$\sigma_x$	0.00	-2.66	-7.13	-9.15	-8.70	-7.28	-5.82	-4.60	-3.65	-2.95	-2.41			
		$\sigma_z$	83.76	70.24	43.20	21.49	9.57	4.11	1.78	0.79	0.37	0.18	0.09			
		$\tau_{xz}$	0.00	0.00	0.00	0.00	0.00	0.00	0.00	0.00	0.00	0.00	0.00			
		$\sigma_c$	84.11	97.15	114.71	113.14	96.70	77.02	59.98	46.80	36.94	29.68	24.21			
15.0	3.30	$\sigma_x$	0.00	-1.63	-4.36	-5.60	-5.33	-4.46	-3.56	-2.81	-2.24	-1.81	-1.48			
		$\sigma_z$	51.29	43.01	26.46	13.16	5.86	2.52	1.09	0.49	0.23	0.11	0.06			
		$\tau_{xz}$	0.00	0.00	0.00	0.00	0.00	0.00	0.00	0.00	0.00	0.00	0.00			
		$\sigma_c$	51.51	59.50	70.25	69.29	59.22	47.17	36.73	28.66	22.62	18.17	14.82			
20.0	4.40	$\sigma_x$	0.00	-0.92	-2.48	-3.18	-3.02	-2.53	-2.02	-1.60	-1.27	-1.02	-0.84			
		$\sigma_z$	29.10	24.40	15.01	7.47	3.32	1.43	0.62	0.28	0.13	0.06	0.03			
		$\tau_{xz}$	0.00	0.00	0.00	0.00	0.00	0.00	0.00	0.00	0.00	0.00	0.00			
		$\sigma_c$	29.22	33.75	39.85	38.30	33.59	26.76	20.84	16.26	12.83	10.31	8.41			
25.0	5.50	$\sigma_x$	0.00	-0.54	-1.45	-1.86	-1.77	-1.48	-1.19	-0.94	-0.74	-0.60	-0.49			
		$\sigma_z$	17.07	14.31	8.80	4.38	1.95	0.84	0.36	0.16	0.08	0.04	0.02			
		$\tau_{xz}$	0.00	0.00	0.00	0.00	0.00	0.00	0.00	0.00	0.00	0.00	0.00			
		$\sigma_c$	17.14	19.80	23.38	23.06	19.71	15.70	12.22	9.54	7.53	6.05	4.93			
30.0	6.60	$\sigma_x$	0.00	-0.33	-0.87	-1.12	-1.07	-0.89	-0.71	-0.56	-0.45	-0.36	-0.30			
		$\sigma_z$	10.25	8.60	5.29	2.63	1.17	0.50	0.22	0.10	0.05	0.02	0.01			
		$\tau_{xz}$	0.00	0.00	0.00	0.00	0.00	0.00	0.00	0.00	0.00	0.00	0.00			
		$\sigma_c$	10.30	11.89	14.04	13.85	11.84	9.43	7.34	5.73	4.52	3.63	2.96			

1 ノズルと岩盤の距離 (cm)

2 作用円半径 (cm)

3 応力の種類  
4 (作用円中心からの距離)/(作用円半径)

附表-2-7 ノズルからの各距離における岩盤の表面に生ずる各応力、および限界の圧縮強度 (11 mmφ ノズル使用の場合)

		ボアン比 0.15 の場合														
		1	2	3	4	0	0.1	0.2	0.3	0.4	0.5	0.6	0.7	0.8	0.9	1.0
5.0	1.10	$\sigma_x$ 0.00 106.79	$\sigma_z$ 0.00 89.55	$\tau_{xz}$ 0.00 55.08	$\sigma_c$ 107.24	-2.97 0.00 27.40	-7.95 0.00 12.20	-10.21 0.00 5.24	-9.71 0.00 2.27	-8.13 0.00 1.01	-6.49 0.00 0.47	-5.13 0.00 0.47	-4.08 0.00 0.23	-3.29 0.00 0.23	-2.69 0.00 0.12	
	10.0	$\sigma_x$ 0.00 83.76	$\sigma_z$ 0.00 70.24	$\tau_{xz}$ 0.00 43.20	$\sigma_c$ 84.11	-2.33 0.00 129.65	-6.24 0.00 109.41	-8.01 0.00 86.58	-7.61 0.00 67.20	-6.37 0.00 52.33	-5.09 0.00 41.27	-4.02 0.00 33.14	-3.20 0.00 27.02	-2.58 0.00 33.14	-2.11 0.00 27.02	
	15.0	$\sigma_x$ 0.00 51.29	$\sigma_z$ 0.00 43.01	$\tau_{xz}$ 0.00 26.46	$\sigma_c$ 51.51	-1.43 0.00 64.79	-3.82 0.00 62.28	-4.90 0.00 52.55	-4.66 0.00 41.59	-3.90 0.00 32.28	-3.12 0.00 25.14	-2.46 0.00 19.82	-1.96 0.00 15.92	-1.58 0.00 12.98	-1.29 0.00 12.98	
	20.0	$\sigma_x$ 0.00 29.10	$\sigma_z$ 0.00 24.40	$\tau_{xz}$ 0.00 15.01	$\sigma_c$ 29.22	-0.81 0.00 32.59	-2.17 0.00 36.75	-2.78 0.00 35.33	-2.65 0.00 29.81	-2.21 0.00 23.59	-1.77 0.00 18.31	-1.40 0.00 14.26	-1.11 0.00 11.25	-0.90 0.00 9.03	-0.73 0.00 7.36	
25.0	5.50	$\sigma_x$ 0.00 17.07	$\sigma_z$ 0.00 14.31	$\tau_{xz}$ 0.00 8.80	$\sigma_c$ 17.14	-0.47 0.00 19.12	-1.27 0.00 21.56	-1.63 0.00 20.72	-1.55 0.00 17.49	-1.30 0.00 13.84	-1.04 0.00 10.74	-0.82 0.00 8.36	-0.65 0.00 6.60	-0.53 0.00 5.30	-0.43 0.00 4.32	
	30.0	$\sigma_x$ 0.00 10.25	$\sigma_z$ 0.00 8.60	$\tau_{xz}$ 0.00 5.29	$\sigma_c$ 10.30	-0.28 0.00 11.49	-0.76 0.00 12.95	-0.98 0.00 12.45	-0.93 0.00 10.51	-0.78 0.00 8.31	-0.62 0.00 6.45	-0.39 0.00 5.02	-0.32 0.00 3.96	-0.26 0.00 3.18	-0.26 0.00 2.59	
	35.0	$\sigma_x$ 0.00 8.75	$\sigma_z$ 0.00 7.14	$\tau_{xz}$ 0.00 4.71	$\sigma_c$ 35.30	-0.22 0.00 4.71	-0.66 0.00 5.29	-0.98 0.00 2.63	-0.93 0.00 1.17	-0.78 0.00 0.50	-0.62 0.00 0.22	-0.39 0.00 0.10	-0.32 0.00 0.05	-0.26 0.00 0.01	-0.26 0.00 0.01	
	40.0	$\sigma_x$ 0.00 7.50	$\sigma_z$ 0.00 6.00	$\tau_{xz}$ 0.00 4.00	$\sigma_c$ 40.30	-0.18 0.00 3.50	-0.54 0.00 3.00	-0.88 0.00 2.50	-0.93 0.00 2.00	-0.78 0.00 1.50	-0.62 0.00 1.00	-0.39 0.00 0.50	-0.32 0.00 0.05	-0.26 0.00 0.01	-0.26 0.00 0.01	

1 ノズルと岩盤の距離 (cm)  
2 作用円半径 (cm)  
3 応力の種類  
4 (作用円中心からの距離)/(作用円半径)

附表-2-8 ノズルからの各距離における岩盤の表面に生ずる各応力、および限界の正縮強度  
(11 mm $\phi$  ノズル使用の場合)

		4				3				2				1											
		$\sigma_x$	$\sigma_z$	$\tau_{xz}$	$\sigma_c$																				
5.0	1.10	0.00	-2.54	-6.82	-8.75	-8.32	-6.97	-5.56	-4.40	-3.49	-3.40	-2.82	-2.30	0.00	0.00	0.00	0.00	0.00	0.00	0.00	0.00	0.00	0.00		
10.0	2.20	106.79	89.55	55.08	27.40	12.20	5.24	2.27	1.01	0.47	0.23	0.12	0.00	0.00	0.00	0.00	0.00	0.00	0.00	0.00	0.00	0.00			
15.0	3.30	83.76	70.24	43.20	21.49	9.57	4.11	1.78	0.79	0.37	0.18	0.09	0.00	0.00	0.00	0.00	0.00	0.00	0.00	0.00	0.00	0.00			
20.0	4.40	80.00	0.00	0.00	0.00	0.00	0.00	0.00	0.00	0.49	0.23	0.11	0.06	0.00	0.00	0.00	0.00	0.00	0.00	0.00	0.00	0.00			
25.0	5.50	14.31	8.80	4.38	1.95	0.84	0.36	0.16	0.05	0.04	0.02	0.00	0.00	0.00	0.00	0.00	0.00	0.00	0.00	0.00	0.00	0.00			
30.0	6.60	10.25	8.60	5.29	2.63	1.17	0.50	0.22	0.10	0.05	0.02	0.01	0.00	0.00	0.00	0.00	0.00	0.00	0.00	0.00	0.00	0.00			

— 112 —

- ノズルと岩盤の距離 (cm)
- 作用円半径 (cm)
- 応力の種類
- 作用円中心から距離 (cm)

- 作用円半径 (cm)
- 応力の種類

附表-2-9 ノズルからの各距離における岩盤の表面に生ずる各応力、および限界の圧縮強度 (11mmφノズル使用の場合)  
ボアソン比 0.25 の場合

		1	2	3	4	0	0.1	0.2	0.3	0.4	0.5	0.6	0.7	0.8	0.9	1.0
5.0	1.10	$\sigma_x$	0.00	-2.12	-5.68	-7.29	-6.93	-5.80	-4.63	-3.66	-2.91	-2.35	-1.92			
		$\sigma_z$	106.79	89.55	55.08	27.40	12.20	5.24	2.27	1.01	0.47	0.23	0.12			
		$\tau_{xz}$	0.00	0.00	0.00	0.00	0.00	0.00	0.00	0.00	0.00	0.00	0.00			
		$\sigma_c$	107.24	111.14	112.15	100.47	81.65	63.34	48.65	37.67	29.62	23.73	19.33			
10.0	2.20	$\sigma_x$	0.00	-1.66	-4.45	-5.72	-5.44	-4.55	-3.63	-2.87	-2.28	-1.84	-1.51			
		$\sigma_z$	83.76	70.24	43.20	21.49	9.57	4.11	1.78	0.79	0.37	0.18	0.09			
		$\tau_{xz}$	0.00	0.00	0.00	0.00	0.00	0.00	0.00	0.00	0.00	0.00	0.00			
		$\sigma_c$	84.11	87.17	87.96	78.80	64.04	49.68	38.16	29.55	23.23	18.62	15.16			
15.0	3.30	$\sigma_x$	0.00	-1.02	-2.73	-3.50	-3.33	-2.79	-2.23	-1.76	-1.40	-1.13	-0.92			
		$\sigma_z$	51.29	43.01	26.46	13.16	5.86	2.52	1.09	0.49	0.23	0.11	0.06			
		$\tau_{xz}$	0.00	0.00	0.00	0.00	0.00	0.00	0.00	0.00	0.00	0.00	0.00			
		$\sigma_c$	51.51	53.38	53.87	48.26	39.22	30.43	23.37	18.09	14.23	11.40	9.29			
20.0	4.40	$\sigma_x$	0.00	-0.58	-1.55	-1.99	-1.89	-1.58	-1.26	-1.00	-0.79	-0.64	-0.52			
		$\sigma_z$	29.10	24.40	15.01	7.47	3.32	1.43	0.62	0.28	0.13	0.06	0.03			
		$\tau_{xz}$	0.00	0.00	0.00	0.00	0.00	0.00	0.00	0.00	0.00	0.00	0.00			
		$\sigma_c$	29.22	30.28	30.56	27.38	22.25	17.26	13.26	10.26	8.07	6.47	5.27			
25.0	5.50	$\sigma_x$	0.00	-0.34	-0.91	-1.17	-1.11	-0.93	-0.74	-0.59	-0.47	-0.38	-0.31			
		$\sigma_z$	17.07	14.31	8.80	4.38	1.95	0.84	0.36	0.16	0.08	0.04	0.02			
		$\tau_{xz}$	0.00	0.00	0.00	0.00	0.00	0.00	0.00	0.00	0.00	0.00	0.00			
		$\sigma_c$	17.14	17.76	17.93	16.06	13.05	10.13	7.78	6.02	4.73	3.79	3.09			
30.0	6.60	$\sigma_x$	0.00	-0.20	-0.55	-0.70	-0.67	-0.56	-0.44	-0.35	-0.28	-0.38	-0.18			
		$\sigma_z$	10.25	8.60	5.29	2.63	1.17	0.50	0.22	0.10	0.05	0.02	0.01			
		$\tau_{xz}$	0.00	0.00	0.00	0.00	0.00	0.00	0.00	0.00	0.00	0.00	0.00			
		$\sigma_c$	10.30	10.67	10.77	9.65	7.84	6.08	4.67	3.62	2.84	2.28	1.86			

1 ノズルと岩盤の距離 (cm)

2 作用円半径 (cm)

3 応力の種類

4 (作用円中心からの距離)/(作用円半径)

附表-2-10 ノズルからの各距離における岩盤の表面に生ずる各応力、および限界の圧縮強度 (11 mmφ ノズル使用の場合)  
ボアソン比 0.30 の場合

		4	0	0.1	0.2	0.3	0.4	0.5	0.6	0.7	0.8	0.9	1.0
		$\sigma_x$	0.00	-1.70	-4.54	-5.83	-5.55	-4.64	-3.71	-2.93	-2.33	-1.88	-1.54
5.0	1.10	$\sigma_z$	106.79	89.55	55.08	27.40	12.20	5.24	2.27	1.01	0.47	0.23	0.12
		$\tau_{xz}$	0.00	0.00	0.00	0.00	0.00	0.00	0.00	0.00	0.00	0.00	0.00
		$\sigma_c$	107.24	106.90	100.78	85.88	67.77	51.73	39.37	30.34	23.79	23.79	15.49
10.0	2.20	$\sigma_x$	0.00	-1.33	-3.56	-4.57	-4.35	-3.64	-2.91	-2.30	-1.83	-1.47	-1.20
		$\sigma_z$	83.76	70.24	43.20	21.49	9.57	4.11	1.78	0.79	0.37	0.18	0.09
		$\tau_{xz}$	0.00	0.00	0.00	0.00	0.00	0.00	0.00	0.00	0.00	0.00	0.00
		$\sigma_c$	84.11	83.84	79.05	67.36	53.15	40.57	30.88	23.80	18.66	14.93	12.15
15.0	3.30	$\sigma_x$	0.00	-0.81	-2.18	-2.80	-2.66	-2.23	-1.78	-1.41	-1.12	-0.90	-0.74
		$\sigma_z$	51.29	43.01	26.46	13.16	5.86	2.52	1.09	0.49	0.23	0.11	0.06
		$\tau_{xz}$	0.00	0.00	0.00	0.00	0.00	0.00	0.00	0.00	0.00	0.00	0.00
		$\sigma_c$	51.51	51.35	48.41	41.25	32.55	24.85	18.91	14.57	11.43	9.14	7.44
20.0	4.40	$\sigma_x$	0.00	-0.46	-1.24	-1.59	-1.51	-1.27	-1.01	-0.80	-0.63	-0.51	-0.42
		$\sigma_z$	29.10	24.40	15.01	7.47	3.32	1.43	0.62	0.28	0.13	0.06	0.03
		$\tau_{xz}$	0.00	0.00	0.00	0.00	0.00	0.00	0.00	0.00	0.00	0.00	0.00
		$\sigma_c$	29.22	29.13	27.46	23.40	18.47	14.09	10.73	8.27	6.48	5.19	4.22
25.0	5.50	$\sigma_x$	0.00	-0.27	-0.73	-0.93	-0.89	-0.74	-0.59	-0.47	-0.37	-0.30	-0.25
		$\sigma_z$	17.07	14.31	8.80	4.38	1.95	0.84	0.36	0.16	0.08	0.04	0.02
		$\tau_{xz}$	0.00	0.00	0.00	0.00	0.00	0.00	0.00	0.00	0.00	0.00	0.00
		$\sigma_c$	17.14	17.09	16.11	13.73	10.83	8.27	6.29	4.85	3.80	3.04	2.48
30.0	6.6.	$\sigma_x$	0.00	-0.16	-0.44	-0.56	-0.53	-0.45	-0.36	-0.28	-0.22	-0.18	-0.15
		$\sigma_z$	10.25	8.60	5.29	2.63	1.17	0.50	0.22	0.10	0.05	0.02	0.01
		$\tau_{xz}$	0.00	0.00	0.00	0.00	0.00	0.00	0.00	0.00	0.00	0.00	0.00
		$\sigma_c$	10.30	10.26	9.68	8.25	6.51	4.97	3.78	2.91	2.28	1.83	1.49

1 ノズルと岩盤の距離 (cm)  
3 応力の種類  
2 作用円半径 (cm)  
4 (作用円中心からの距離)/(作用円半径)